

COMMITTENTE:



PROGETTAZIONE:



**DIRETTRICE FERROVIARIA MESSINA-CATANIA-PALERMO  
NODO DI CATANIA**

**U.O. INFRASTRUTTURE SUD**

**PROGETTO DEFINITIVO**

**INTERRAMENTO LINEA PER IL PROLUNGAMENTO DELLA PISTA  
DELL'AEROPORTO DI FONTANAROSSA E PER LA MESSA A STI DEL  
TRATTO DI LINEA INTERESSATO.**

**MACROFASE FUNZIONALE 1**

**LOTTO 2**

Bretella CT-SR e Fascio A-P di prima fase e Collegamento Fascio A-P-Interporto - OPERE CIVILI  
Tombini - NI07 tombino stradale di trasparenza NV08A - Relazione di calcolo

SCALA:

-

COMMESSA    LOTTO    FASE    ENTE    TIPO DOC.    OPERA/DISCIPLINA    PROGR.    REV.

RS3H    02    D    78    CL    NI0700    001    A

Rev.	Descrizione	Redatto	Data	Verificato	Data	Approvato	Data	Autorizzato Data
A	Emissione esecutiva	L.Nani	Marzo 2020	G. Giustino <i>G. Giustino</i>	Marzo 2020	S. Vanfiori <i>S. Vanfiori</i>	Marzo 2020	D. Tiberti Marzo 2020 <i>D. Tiberti</i>

File: RS3H.0.2.D.78.CL.NI.07.0.0.001.A

n. Elab.:

ITAFERR S.p.A.  
Gruppo Ferrovie dello Stato Italiane  
Direzione Regionale Sud  
UO Infrastrutture Sud  
Prof. Ing. Paolo Tiberti  
Ordine degli Ingegneri Prov. di Napoli n. 10176



DIRETTRICE FERROVIARIA MESSINA – CATANIA – PALERMO NODO DI CATANIA  
 INTERRAMENTO LINEA PER IL PROLUNGAMENTO DELLA PISTA DELL' AEROPORTO  
 DI FONTANAROSSA E PER LA MESSA A STI DEL TRATTO DI LINEA INTERESSATO.  
 MACROFASE FUNZIONALE 1  
 LOTTO 02

Relazione di calcolo tombino stradale NI07

COMMESSA <b>RS3H</b>	LOTTO 0 2 D 78	CODIFICA CL	DOCUMENTO NI.07.0.0.001	REV. A	FOGLIO 1 di 63
-------------------------	-------------------	----------------	----------------------------	-----------	-------------------

**INDICE**

1. PREMESSA.....	2
2. GEOMETRIA DELLA STRUTTURA .....	3
3. PROGETTO NUOVO TOMBINO.....	4
3.1. NORMATIVA DI RIFERIMENTO.....	4
3.2. UNITA' DI MISURA E SIMBOLOGIA.....	4
3.3. GEOMETRIA .....	5
3.4. MATERIALI .....	5
3.5. INQUADRAMENTO GEOTECNICO .....	7
3.6. MODELLO DI CALCOLO .....	9
3.7. ANALISI DEI CARICHI.....	11
3.8. COMBINAZIONI DI CARICO.....	18
3.9. CARATTERISTICHE DELLE SOLLECITAZIONI.....	24
3.9.1. INVILUPPO SLU.....	24
3.9.2. INVILUPPO SLV.....	33
3.9.3. INVILUPPO SLE_RARA.....	40
3.10. VERIFICHE SLU/SLE .....	48
3.11. ARMATURE DI RIPARTIZIONE .....	54
3.12. VERIFICHE SLV AL LIMITE ELASTICO .....	57

## 1. PREMESSA

Nella presente relazione di calcolo è sviluppato il progetto, ai sensi delle norme attualmente vigenti NTC18, di un tombino scatolare a tre canne lungo la viabilità di ripristino NV08A, facente parte del progetto di interrimento ferroviario del Nodo di Catania per il prolungamento della pista dell'aeroporto di Fontanarossa (Lotto 2).

Lo scatolare in oggetto è situato alla progressiva 0+402.62 della viabilità di ripristino NV08A, in continuità al tombino ferroviario IN14 posto alla progressiva 2+564.00 della bretella Catania-Siracusa. Quanto riportato di seguito consentirà di verificare che il dimensionamento della struttura è stato effettuato nel rispetto dei requisiti di resistenza richiesti all'opera.

Si riportano di seguito una sezione longitudinale e una trasversale dello scatolare tipo, volte ad individuare le grandezze impiegate nel dimensionamento.



Figura 1. Sezione longitudinale dello scatolare

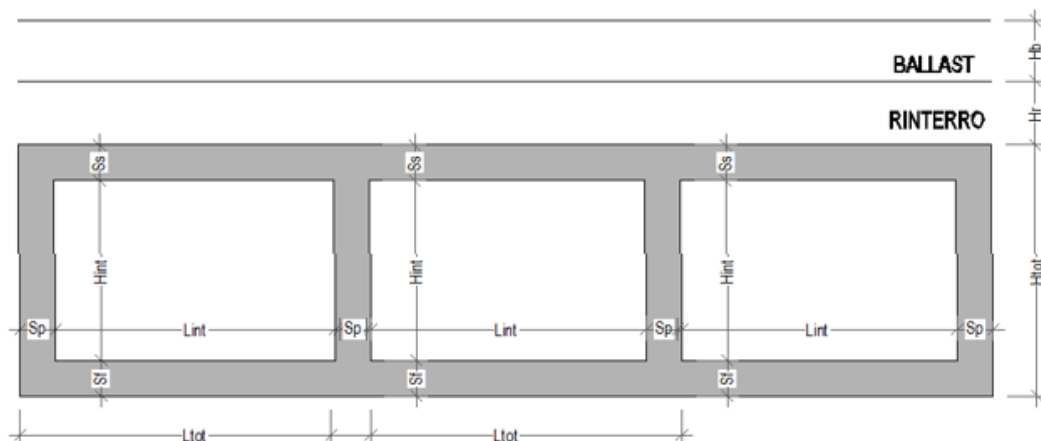


Figura 2. Sezione trasversale dello scatolare

## 2. GEOMETRIA DELLA STRUTTURA

Il tombino sottopassa la strada adiacente alla linea ferroviaria ad una distanza fra piano rotabile ed estradosso soletta pari ad  $H_{ric}$ . Esso è composta da 3 canne affiancate ognuna delle quali ha dimensioni interne  $L_{int} \times H_{int}$ , con piedritti e soletta superiore di spessore  $S_p = S_s = L_{int}/10 + 10\text{cm}$ , soletta inferiore di spessore  $S_f = S_s + 10\text{cm}$ . Nel seguito verrà esaminata una striscia di scatolare avente lunghezza di 1.00 m. Nella figura [Fig. 2] di cui al paragrafo precedente sono riportate schematicamente la geometria dell'opera e la simbologia adottata.

Le caratteristiche geometriche hanno la seguente simbologia (unità di misura metri):

Larghezza utile	$L_{int}$	[m]
Altezza libera	$H_{int}$	[m]
Numero canne	n	
Spessore piedritti	$S_p$	[m]
Spessore soletta	$S_s$	[m]
Spessore fondazione	$S_f$	[m]
Altezza pacchetto strada	$H_s$	[m]
Rinterro (superiore)	$H_r$	[m]
Ricoprimento	$H_{ric}$	[m]
Larghezza totale	$L_{tot}$	[m]
Altezza totale	$H_{tot}$	[m]

### 3. PROGETTO NUOVO TOMBINO

Nel presente paragrafo si riportano i calcoli volti alla progettazione di un nuovo tombino nel rispetto della norma attualmente vigente NTC18.

#### 3.1. NORMATIVA DI RIFERIMENTO

Le analisi strutturali e le verifiche di sicurezza sono state effettuate in accordo con le prescrizioni contenute nelle seguenti normative:

[N.1]. Norme Tecniche per le Costruzioni - D.M. 17-01-18 (NTC-2018);

[N.2]. Circolare n. 7 del 21 gennaio 2019 - Istruzioni per l'Applicazione dell'aggiornamento delle Norme Tecniche per le Costruzioni di cui al Decreto Ministeriale 17 gennaio 2018;

[N.3]. Regolamento (UE) N. 1299/2014 della Commissione del 18 novembre 2014 relativo alle specifiche tecniche di interoperabilità per il sottosistema «infrastruttura» del sistema ferroviario dell'Unione europea, modificato dal Regolamento di esecuzione (UE) N° 2019/776 della Commissione del 16 maggio 2019.

[N.4]. Eurocodici EN 1991-2: 2003/AC:2010 – Eurocodice 1 – Parte 2

[N.5]. RFI DTC SI MA IFS 001 C del 21-12-18 - Manuale di Progettazione delle Opere Civili.

#### 3.2. UNITA' DI MISURA E SIMBOLOGIA

Si utilizza il Sistema Internazionale (SI):

Unità di misura principali

- |                   |                    |
|-------------------|--------------------|
| - N (Newton)      | unità di forza     |
| - m (metro)       | unità di lunghezza |
| - kg (kilogrammo) | unità di massa     |
| - s (secondo)     | unità di tempo     |

Unità di misura derivate da N

- (kiloNewton)  $10^3$  N

Si utilizzano i seguenti principali simboli con le relative unità di misura normalmente adottate:

$\gamma$ (gamma)	peso dell'unità di volume	(kN/m <sup>3</sup> )
$\sigma$ (sigma)	tensione normale	(N/mm <sup>2</sup> )
$\tau$ (tau)	tensione tangenziale	(N / mm <sup>2</sup> )
$\varepsilon$ (epsilon)	deformazione	(m/m) -
$\phi$ (fi)	angolo di resistenza	(°)

### 3.3. GEOMETRIA

Larghezza utile	Lint	3,00	m	luce interna scatolare
Altezza libera	Hint	2,50	m	altezza interna scatolare
Numero canne	n	3,00		
Spessore piedritti	Sp	0,40	m	(consigliato: Sp = Ss)
Spessore soletta	Ss	0,40	m	(consigliato: Ss = Lint/10+10cm.)
Spessore fondazione	Sf	0,50	m	(consigliato: Sf = Ss + 10cm.)
Altezza pacchetto stradale	Hs	0,20	m	
Rinterro (superiore)	Hr	0,30	m	
Ricoprimento	Hric	0,50	m	Hs+Hr
Larghezza totale	Ltot	10,60	m	Lint+2xSPp
Altezza totale	Htot	3,40	m	Hint+SPs+SPf

### 3.4. MATERIALI

Per le opere in c.a. si adotta:

Calcestruzzo C (30/37) le cui caratteristiche principali sono:

- Resistenza cilindrica caratteristica:  $f_{ck} = 30 \text{ N/mm}^2$
- Resistenza di calcolo a compressione semplice:  $f_{cd} = \alpha_{cc} f_{ck} / \gamma_m$ , dove:
  - $\alpha_{cc} = 0.85$  e  $\gamma_m = 1.5$ ;
  - $f_{cd} = 17 \text{ N/mm}^2$
- Resistenza di calcolo a trazione semplice:  $f_{ctd} = f_{ctk} / \gamma_m$ , dove :

- $\gamma_m = 1.5$ ;
- $f_{ctd} = 1,35 \text{ N/mm}^2$ .
- Modulo elastico:  $E_c = 32836 \text{ N/mm}^2$
- Tolleranza di posa del copriferro = 10 mm;
- Classe di esposizione XA1
- Copriferro = 40 mm
- Condizioni ambientali: aggressive
- Apertura fessure limite:  $w_1 = 0.2 \text{ mm}$

Acciaio da cemento armato normale B450C controllato in stabilimento. Le barre sono ad aderenza migliorata. Le caratteristiche meccaniche sono:

- Tensione caratteristica di snervamento:  $f_{yk} = 450 \text{ Nmm}^2$
- Resistenza di calcolo dell'acciaio:  $f_{yd} = f_{yk} / \gamma_s$  dove
- $\gamma_s = 1.15 = 391 \text{ Nmm}^2$
- Allungamento  $D1 > 12\%$
- Modulo di elasticità:  $E_s = 206000 \text{ Nmm}^2$
- Sovrapposizioni barre  $\geq 40\phi$

### 3.5. INQUADRAMENTO GEOTECNICO

Per l'inquadrimento geotecnico si fa riferimento alla relazione geotecnica, della quale si riportano gli stralci significativi del profilo geotecnico e dei parametri geotecnici del terreno di fondazione, del rinterro e del rinfiacco.

Lo strato significativo del profilo geotecnico è l'unità **7) U1**  
 la cui descrizione nella relazione geotecnica è: Depositi alluvionali recenti

Peso specifico terreno	$\gamma_t$ rif.geotec.	kN/m <sup>3</sup>
angolo d'attrito terreno	$\phi$ rif.geotec.	[°]
coesione terreno	c rif.geotec.	kN/m <sup>2</sup>

I parametri geotecnici del rinterro e del terreno di rinfiacco sono i seguenti:

Peso specifico rinterro	$\gamma_t$	<b>19,0</b>	kN/m <sup>3</sup>	
angolo di attrito rinterro	$\phi'$	<b>38,0</b>	[°]	0,663 [rad]
coesione rinterro	c	<b>0,0</b>	kN/m <sup>2</sup>	
Peso specifico terreno di rinfiacco	$\gamma_t$	<b>19,0</b>	kN/m <sup>3</sup>	
angolo di attrito terreno di rinfiacco	$\phi'$	<b>38,0</b>	[°]	0,663 [rad]
coesione terreno di rinfiacco	c	<b>0,0</b>	kN/m <sup>2</sup>	

### Interazione terreno - struttura

Per la determinazione della costante di sottofondo si può fare riferimento alle seguenti formulazioni assimilando il comportamento del terreno a quello di un mezzo elastico omogeneo:

$$s = B \cdot ct \cdot (q - \sigma v_0) \cdot (1 - \nu^2) / E$$

dove:

- s = cedimento elastico totale;
- B = lato minore della fondazione;
- ct = coefficiente adimensionale di forma ottenuto dalla interpolazione dei valori dei coefficienti proposti dal Bowles, 1960 (L = lato maggiore della fondazione):

$$ct = 0.853 + 0.534 \ln(L / B) \text{ rettangolare con } L / B \leq 10$$

$$ct = 2 + 0.0089 (L / B) \text{ rettangolare con } L / B > 10$$

- q = pressione media agente sul terreno;
- $\sigma v_0$  = tensione litostatica verticale alla quota di posa della fondazione;
- $\nu$  = coefficiente di Poisson del terreno;
- E = modulo elastico medio del terreno sottostante.

Il valore della costante di sottofondo kw è valutato attraverso il rapporto tra il carico applicato ed il corrispondente cedimento pertanto, si ottiene:

$$kw = E / [(1 - \nu^2) \cdot B \cdot ct]$$

Di seguito si riportano in forma tabellare i risultati delle valutazioni effettuate per il caso in esame, avendo considerato per E un valore medio di quello indicato per l'Unità Geotecnica in esame ed una dimensione longitudinale della fondazione ritenuta potenzialmente collaborante nella diffusione dei carichi:

Unità stratigrafica	7) U1	
Descrizione unità stratigrafica	Depositi alluvionali recenti	
Modulo elastico medio terreno	E <b>15000</b>	kN/m <sup>2</sup>
Coefficiente di Poisson medio terreno	$\nu$ 0,3	
Lato minore della fondazione	B 1,0	m
Lato maggiore della fondazione	L 10,6	m
Rapporto dei lati	L/B 10,6	
Coefficiente adimensionale	ct 2,091	
Costante di sottofondo	Kw <b>7882</b>	kN/m <sup>3</sup>

### 3.6. MODELLO DI CALCOLO

Il modello di calcolo attraverso il quale viene schematizzata la struttura è quello di telaio chiuso su letto di molle alla Winkler. Il programma di calcolo utilizzato è un programma ad elementi finiti, il Sap 2000.

Le caratteristiche delle aste modellate con elementi frame sono le seguenti:

<i>asta</i>	<i>base</i>	<i>altezza</i>	<i>descrizione</i>
Asta 1,7,8	100 cm	50 cm	(soletta inferiore)
Aste 2,4,6,9	100 cm	40 cm	(Piedritti)
Asta 3,5,10	100 cm	40 cm	(soletta superiore)

Le caratteristiche geometriche del modello e le coordinate dei nodi sono le seguenti:

Linterasse	10,20	m
Hinterasse	2,95	m
N.nodi	35	
N.nodi sup	4	
N.nodi inf	31	
N.spazi inf	30	

<i>Nodo</i>	<i>X</i>	<i>Z</i>	<i>Nodo</i>	<i>X</i>	<i>Z</i>
1	0,000	2,950	-1	0,000	2,950
2	-5,100	2,950	-2	5,100	2,950
3	0,000	0,000	-3	0,000	0,000
4	-0,340	0,000	-4	0,340	0,000
5	-0,680	0,000	-5	0,680	0,000
6	-1,020	0,000	-6	1,020	0,000
7	-1,360	0,000	-7	1,360	0,000
8	-1,700	0,000	-8	1,700	0,000
9	-2,040	0,000	-9	2,040	0,000
10	-2,380	0,000	-10	2,380	0,000
11	-2,720	0,000	-11	2,720	0,000
12	-3,060	0,000	-12	3,060	0,000
13	-3,400	0,000	-13	3,400	0,000
14	-3,740	0,000	-14	3,740	0,000
15	-4,080	0,000	-15	4,080	0,000
16	-4,420	0,000	-16	4,420	0,000
17	-4,760	0,000	-17	4,760	0,000
18	-5,100	0,000	-18	5,100	0,000
19	1,700	2,950	-19	1,700	2,950

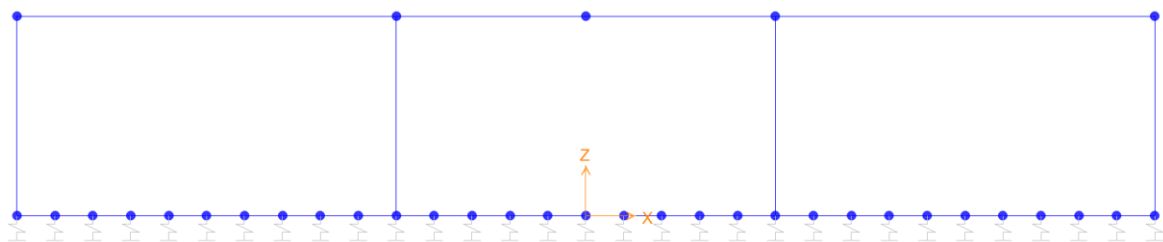


Figura 3. Nodi modello SAP

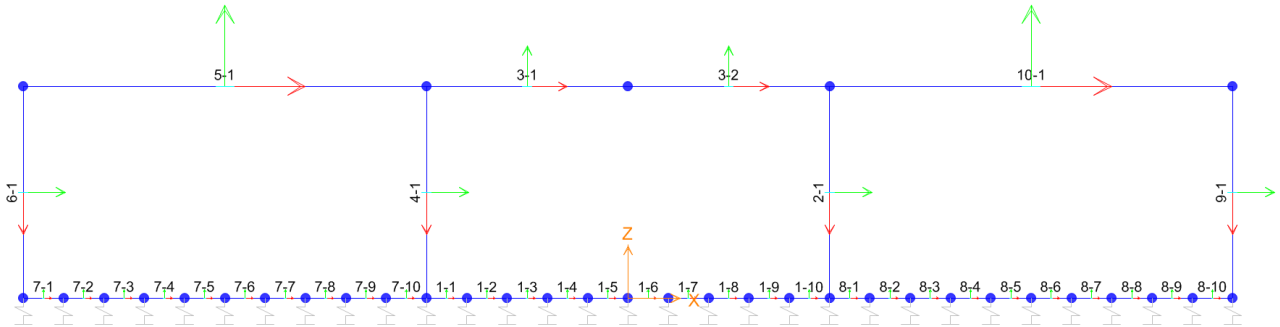


Figura 11: Individuazione elementi modello SAP

L'opera è stata considerata vincolata alla base mediante dei vincoli cedevoli in funzione delle caratteristiche elastiche del terreno di sottofondo.

La soletta inferiore viene divisa in 10 elementi per poter schematizzare, tramite le molle applicate, l'interazione terreno-struttura. Per la rigidità delle molle, nel caso in esame, si assume il valore del Modulo di reazione verticale desunto dai parametri della relazione geotecnica:

### Rigidità molle nodali SAP

ks		<b>7882</b>	kN/m <sup>3</sup>
nodi centrali (3,4,5,6,7,8,9,10,-3,-4,-5,-6,-7,-8,-9,-10)			
Linfl		0,340	m
Kcentrale	ks x Linfl x 1	<b>2680</b>	kN/m
nodi intermedi (11,12,13,14,15,16,-11,-12,-13,-14,-15,-16)			
Linfl		0,340	m
Kintermedio	1,5 x ks x Linfl x 1	<b>4020</b>	kN/m
nodi estremità (17,18,-17,-18)			
Linfl		0,370	m
Kestremità	2,0 x ks x Linfl x 1	<b>5833</b>	kN/m

### 3.7. ANALISI DEI CARICHI

Si riportano di seguito i carichi utilizzati per il calcolo delle sollecitazioni e le verifiche delle sezioni della struttura in esame.

#### Peso proprio della struttura (condizione DEAD)

Il peso proprio delle solette e dei piedritti viene calcolato automaticamente dal programma di calcolo utilizzato considerando per il calcestruzzo  $\gamma = 25 \text{ kN/m}^3$ .

Peso specifico calcestruzzo armato	$\gamma_{ds}$	25	$\text{kN/m}^3$	
peso singolo piedritto	$P_p$	10,00	$\text{kN/m}$	$\gamma_{cls} \times S_p$
peso soletta superiore	$P_{ss}$	10,00	$\text{kN/m}$	$\gamma_{cls} \times S_s$
peso fondazione	$P_{sf}$	12,50	$\text{kN/m}$	$\gamma_{cls} \times S_f$

#### Permanenti portati (condizione PERM-STR)

peso specifico pacchetto stradale	$\gamma_s$	24	$\text{kN/m}^3$	
altezza pacchetto stradale	$H_s$	0,20	m	
Permanente totale	$G_{sp}$	4,80	$\text{kN/m}$	$\gamma_b \times H_b$
peso specifico rinterro	$\gamma_r$	19,0	$\text{kN/m}^3$	
altezza rinterro	$H_r$	0,30	m	
peso rinterro	$P_r$	5,70	$\text{kN/m}$	$\gamma_r \times H_r$
Permanente totale	$G_{2p}$	10,50	$\text{kN/m}$	$P_b + P_r$
Permanente nodi 1 e 2	$G_{2P}$	2,10	kN	$G_{2p} \times S_p / 2$

I carichi concentrati verticali nei nodi 1 e 2 (i nodi tra la soletta superiore e i piedritti), rappresentano il carico permanente sulla soletta di copertura dovuto al peso della zona sovrastante la metà dello spessore del piedritto (la modellazione dello scatolare è stata fatta in asse piedritto).

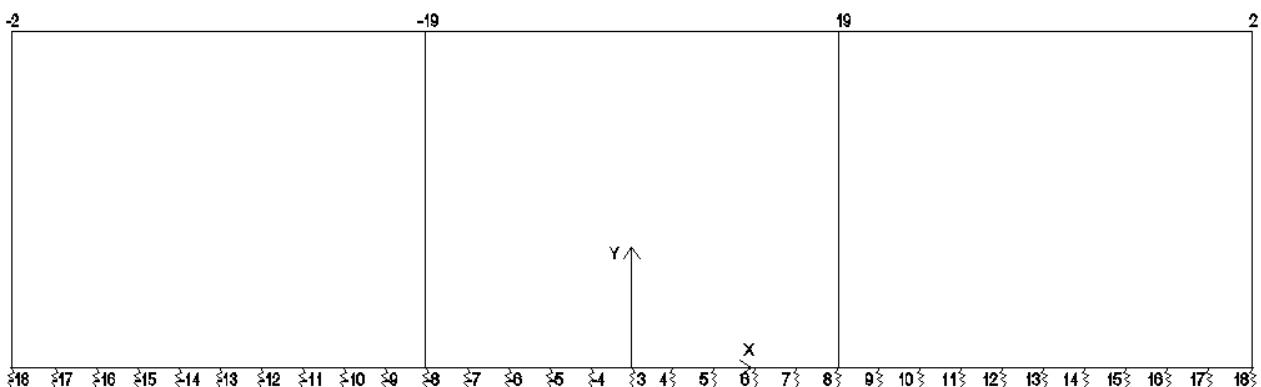


Figura 5. Numerazione dei nodi nel modello strutturale.

### Spinta del terreno (condizioni SPTSX e SPTDX)

Peso specifico terreno di rinfiacco	$\gamma_t$	19,0	kN/m <sup>3</sup>	
angolo di attrito terreno di rinfiacco	$\varnothing'$	38,0	[°]	0,663 [rad]
coefficiente spinta attiva $k_a$	$k_a$	0,238		$(1 - \text{sen}\varnothing) / (1 + \text{sen}\varnothing)$
coefficiente spinta riposo $k_o$	$k_o$	<b>0,384</b>		$(1 - \text{sen}\varnothing)$
coefficiente spinta passiva $k_p$	$k_p$	4,204		$(1 + \text{sen}\varnothing) / (1 - \text{sen}\varnothing)$
Pressione estradosso soletta superiore	P1	<b>4,04</b>	kN/m <sup>2</sup>	$k_o \times (G_{sp} + P_r)$
Pressione asse soletta superiore	P2	<b>5,50</b>	kN/m <sup>2</sup>	$k_o \times (G_{sp} + P_r + \gamma_r \times S_s / 2)$
Pressione asse soletta inferiore	P3	<b>27,04</b>	kN/m <sup>2</sup>	$k_o \times [P_b + P_r + \gamma_r \times (S_s + H_{int} + S_f / 2)]$
Pressione intradosso soletta inferiore	P4	<b>28,86</b>	kN/m <sup>2</sup>	$k_o \times (P_b + P_r + \gamma_r \times H_{tot})$
Forza concentrata asse soletta superiore	F1	<b>0,95</b>	kN/m	$(P1 + P2) / 2 \times S_s / 2$
Forza concentrata asse soletta inferiore	F2	<b>6,99</b>	kN/m	$(P3 + P4) / 2 \times S_f / 2$

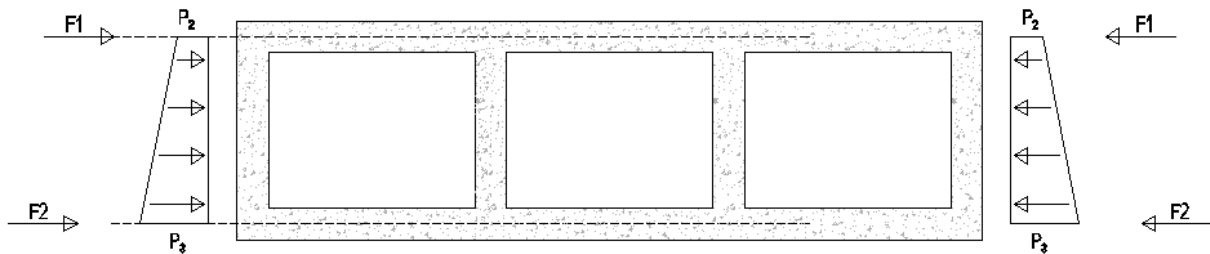


Figura 6. Spinte del terreno

I carichi concentrati nei nodi 1 e 3 (per la SPTSX) oppure 2 e 13 (per la SPTDX) rappresentano la parte di spinta del terreno esercitata su 1/2 spessore della soletta sup. e su 1/2 spessore della soletta

### Carichi accidentali, ripartizione carichi verticali (condizione ACCM-STR)

Si assume il più gravoso tra i seguenti due schemi di carico:

- carico distribuito uniforme stradale
- schema di carico 1 § 5.1.3.3.3 Cap.5 NTC2018

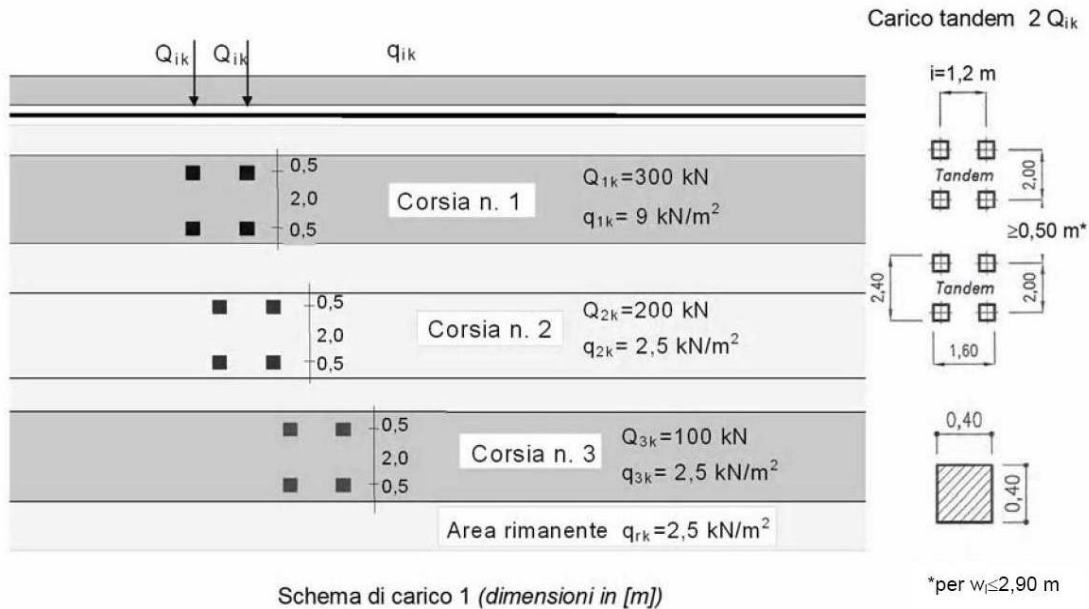


Figura 7 – Schema di Carico 1 del D.M. 17/01/2018

Carico distribuito per traffico stradale	qunif	20	kN/m <sup>2</sup>	
Carico distribuito per corsia di carico	q <sub>1k</sub>	9	kN/m <sup>2</sup>	Schema di carico 1 NTC§5.1.3.3.3
Carico concentrato impronta di carico	Q <sub>1k</sub>	150	kN	Schema di carico 1 NTC§5.1.3.3.3
N° Impronte di carico per asse	N <sub>i</sub>	2		
N° Assi	N <sub>a</sub>	2		
Dimensione trasversale impronta di carico	B <sub>ti</sub>	0,40	m	
Dimensione longitudinale impronta di carico	B <sub>li</sub>	0,40	m	
Interasse trasversale strada impronte carico	i <sub>ti</sub>	2,00	m	
Interasse longitudinale strada impronte carico	i <sub>li</sub>	1,20	m	
Larghezza corsia di carico	w <sub>1</sub>	3,00	m	

Lo schema di carico 1, che prevede anche la presenza di carichi concentrati, viene ragguagliato allo schema di carico a) mediante una diffusione attraverso il pacchetto stradale e il rinterro fino alla linea d'asse della soletta superiore:

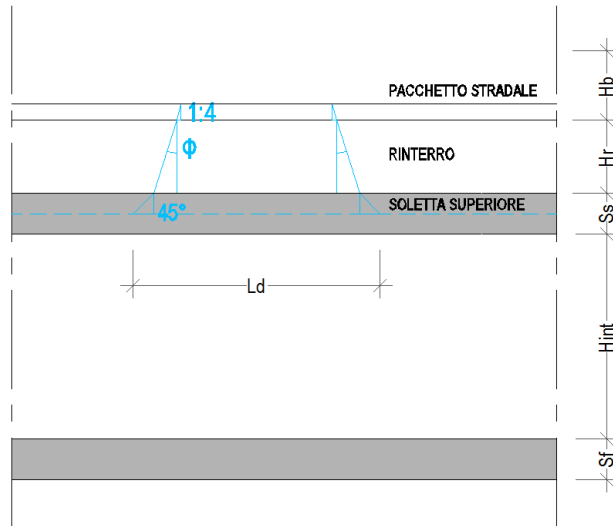


Figura 8. Diffusione dei carichi concentrati dello schema di carico 1

Ripartizione trasversale strada piano rotabile	rtpr	2,40	m	$Bti+iti*(Ni-1)$
Ripartizione longitudinale strada piano rotabile	rlpr	1,60	m	$Bli+ili*(Na-1)$
Larghezza di diffusione nel pacchetto stradale	Lds	0,10	m	Diffusione 1:4 nel pacchetto stradale
Larghezza di diffusione nel rinterro	Ldr	0,47	m	Diffusione secondo angolo attrito
Larghezza di diffusione nel cls	Ldc	0,40	m	Diffusione 45° nel cls
Larghezza trasv. di diffusione del carico	Ldt	<b>3,37</b>	m	$rtpr + Lds + Ldr + Ldc$
Larghezza long. di diffusione del carico	Ldl	<b>2,57</b>	m	$rlpr + Lds + Ldr + Ldc$
Carico ripartito verticale schema di carico 1	psch1	<b>78,34</b>	kN/m <sup>2</sup>	$[Q1k*Ni*Na/(Ldl*Ldt)]+q1k$
Carico distribuito massimo su soletta superiore	Pq	<b>78,34</b>	kN/m <sup>2</sup>	max (psch1 ; qunif)

### Spinta sui piedritti prodotta dal sovraccarico STRADALE (condizioni SPACCSX e SPACCDX)

Carico distribuito massimo per traffico stradale	Pq	<b>30,11</b>	kN/m <sup>2</sup>	$Pq \times Ko$
Spinta semispessore soletta superiore	Fqsup	<b>6,02</b>	kN/m	$Pq \times SPs / 2$
spinta semispessore soletta inferiore	Fqinf	<b>7,53</b>	kN/m	$Pq \times SPi / 2$

### Frenatura e accelerazione (condizione AVV-STR)

La forza di frenamento, agente nella direzione dell'asse della strada ed al livello della superficie stradale, è funzione del carico verticale totale agente sulla corsia convenzionale n. 1 ed è pari a:

$$q3 = 0,6 \cdot (2 \cdot Ni \cdot Q1k) + 0,10 \cdot q1k \cdot w1 \cdot L$$

Lunghezza zona caricata	L	3,80	m	$Lint + 2*Sp$
Largh. diffusione sulla soletta superiore	Ldiff	3,40	m	$Lint + Sp$
Acc. e fren. traffico stradale	Av	<b>370,26</b>	kN	$0.6*(2*Ni*Q1k)+0.10*q1k*w1*L$
Acc. e fren. traffico stradale distribuiti	q3	<b>54,70</b>	kN/m	$Av / [Ldiff + max(Ldt ; w1)]$

### Azioni termiche (condizione TERM)

Alla soletta superiore si applica una variazione termica uniforme pari a  $\Delta t = \pm 15^\circ\text{C}$  ed una variazione nello spessore tra estradosso ed intradosso pari a  $\Delta t = \pm 5^\circ\text{C}$ .

Variatione termica uniforme	$\Delta T_{unif}$	<b>+ -15,00</b>	[°]	<i>Sulla soletta superiore</i>
Variatione termica differenziale	$\Delta T_{diff}$	<b>+ -5,00</b>	[°]	<i>Sulla soletta superiore</i>
Gradiente		<b>+ -12,50</b>	[°/m]	$\Delta T_{diff} / S_s$

### Ritiro igrometrico (condizione RITIRO)

Gli effetti del ritiro vanno valutati a “lungo termine” attraverso il calcolo dei coefficienti di ritiro finale  $\epsilon_{cs}(t, t_0)$  e di viscosità  $\phi(t, t_0)$ , come definiti nell'EUROCODICE 2- UNI EN 1992-1-1 Novembre 2005 e D. M. 17-01-2018.

I fenomeni di ritiro vengono considerati agenti solo sulla soletta di copertura ed applicati nel modello come una variazione termica uniforme equivalente agli effetti del ritiro:

Variatione termica uniforme equivalente	$\Delta T_{ritiro}$	<b>- [11,59°]</b>		<i>Sulla soletta superiore</i>
---	---------------------	-------------------	--	--------------------------------

### CONDIZIONI DI CARICO SISMICHE

Per il calcolo dell'azione sismica si utilizza il metodo dell' analisi pseudostatica in cui l'azione sismica è rappresentata da una forza statica equivalente pari al prodotto delle forze di gravità per un opportuno coefficiente sismico  $k$ . Le forze sismiche sono pertanto le seguenti:

Forza sismica orizzontale  $F_h = k_h \cdot W$

Forza sismica verticale  $F_v = k_v \cdot W$

I valori dei coefficienti sismici orizzontale  $k_h$  e verticale  $k_v$

$$k_h = a_{max} / g$$

$$k_v = \pm 0,5 \times k_h$$

Con riferimento alla nuova classificazione sismica del territorio nazionale, ai fini del calcolo dell'azione sismica secondo il DM 17/01/2018 viene assegnata all'opera una vita nominale  $V_N$  ed una classe d'uso  $C_u$ ; segue un periodo di riferimento  $V_R = V_N \cdot C_U$ .

A seguito di tale assunzione si ottiene allo stato limite ultimo SLV in funzione della Latitudine e Longitudine del sito in esame un valore dell'accelerazione pari ad ag, il cui valore è di seguito riportato, come desunto anche dalla relazione geotecnica.

In assenza di analisi specifiche della risposta sismica locale, l'accelerazione massima per la determinazione delle forze di inerzia può essere valutata con la relazione:

$$a_{max} = S * a_g = S_s * S_t * a_g$$

Le forze di inerzia sullo **scatolare** (masse di peso proprio soletta superiore e piedritti, rinterro e ballast, 20% treno di carico,...) sono pari alle masse moltiplicate per **kh** e **kv** ove:  $kh = \beta M x S x a_g/g$  e  $kv = kh / 2$ . Essendo lo scatolare non libero di subire spostamenti relativi rispetto al terreno,  $\beta M = 1$ .

vita nominale	$V_N$	50	anni
classe d'uso	CL	III	
coefficiente d'uso	$C_U$	1,50	
vita di riferimento = $C_U * V_N$	$V_R$	75	anni
probabilità di superamento nel periodo di riferimento	$P_{VR}$	10%	
periodo di ritorno del sisma	$T_R$	712	anni

### Spettro di risposta in accelerazione della componente orizzontale

Per la valutazione dei parametri sismici di progetto il tratto in oggetto è stato suddiviso in tre "macro-zone" sismiche con i relativi parametri di calcolo (ago, Fo, T\*c)

Zona di riferimento		<b>ZONA 3</b>	
<u>Coordinate del sito in oggetto:</u>			
Latitudine		37,43488	
Longitudine		15,02598	
accelerazione massima orizzontale al bedrock	ago	0,330	g
fattore amplificazione massima spettro accelerazione	Fo	2,359	sec
periodo inizio tratto a velocità costante spettro acc. orizz.	T*c	0,458	
categoria sottosuolo		<b>D</b>	
categoria topografica		<b>T1</b>	
amplificazione topografica	$S_T$	1,000	
smorzamento viscoso convenzionale	$\xi$	5%	
fattore di correzione per $\xi <> 5\%$	$\eta$	1,000	

Tab.3.2.V	$S_s$	$C_C$	$S_s$	$C_C$
A	1,00	1,00	1,23	1,85
B	1,09	1,29		
C	1,23	1,36		
D	1,23	1,85		
E	1,14	1,57		

coefficiente amplificazione stratigrafica	$S_S$	1,232	
coefficiente di amplificazione	$S$	<b>1,232</b>	
coefficiente categoria sottosuolo	$C_C$	1,847	
periodo inizio tratto a accelerazione costante = $T_c / 3$	$T_B$	0,282	sec
periodo inizio tratto a velocità costante = $C_c * T^*c$	$T_C$	0,846	sec
periodo inizio tratto a spostamento costante = $4 * ag/g + 1,6$	$T_D$	2,920	sec
accelerazione massima orizzontale al suolo = $S_s \times S_t \times ag/g$	$ago,max$	<b>0,407</b>	g

### Accelerazioni per il calcolo delle forze di inerzia agenti sullo scatolare

Coefficiente di riduzione dell'acc max attesa al sito	$\beta$	<b>1,000</b>	
$a_o = k_h = a_{go,max} = S \times ag/g$	valore $PGA \times scatolare$	$a_o = k_h$	<b>0,4067</b> g
$a_v = k_v = k_h / 2$	valore $PGA \times scatolare$	$a_v = k_v$	<b>0,2033</b> g

### Forze di inerzia (condizione SismaH-STR)

Forza di inerzia treno di carico - (%)	%	<b>0%</b>	
Forza orizzontale sulla soletta di copertura	$F^h$	<b>8,34</b> kN/m	$(P_{ss} + G_{sp} + P_r + \% * P_q) \times k_b$
Forza orizzontale su singolo piedritto	$F^{h'}$	<b>4,07</b> kN/m <sup>2</sup>	$P_p \times k_b$

### Forze di inerzia (condizione SismaV-STR)

Forza di inerzia treno di carico - (%)	%	0%	
Forza verticale sulla soletta di copertura	$F^{v'}$	<b>4,17</b> kN/m <sup>2</sup>	$(P_{ss} + G_{sp} + P_r + \% * P_q) \times k_v$

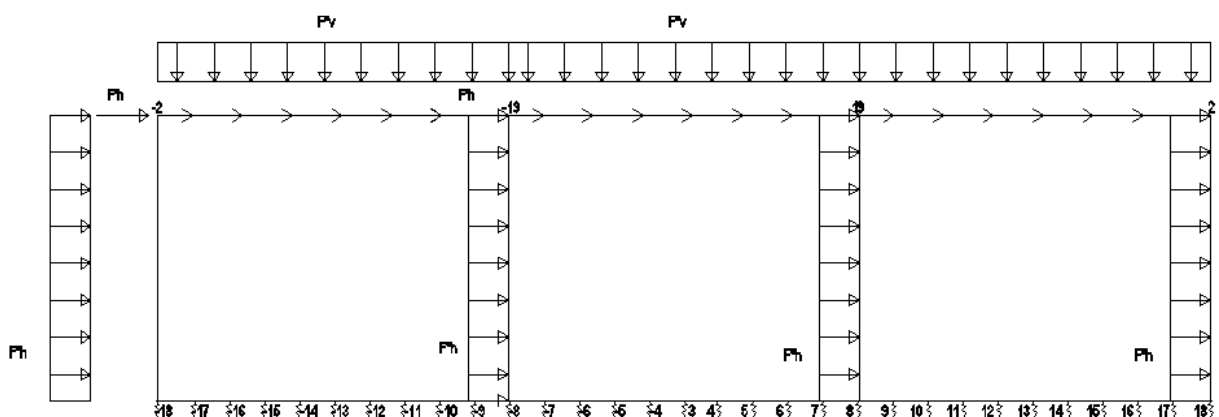


Figura 9. Forze sismiche agenti sulla struttura

### Spinta sismica terreno - Teoria di WOOD (condizioni SPSPDX e SPSSX)

Forza distribuita su uno solo dei piedritti	$qW$	<b>4,27</b> kN/m <sup>2</sup>	$(\% * P_q + G_{sp} + P_r) \times (a_{go,max})$
Forza concentrata nodo superiore piedritto	$QW_{sup}$	<b>0,85</b> kN	$qW \times S_s / 2$
Forza concentrata nodo inferiore piedritto	$QW_{inf}$	<b>1,07</b> kN	$qW \times S_f / 2$

### 3.8. COMBINAZIONI DI CARICO

Secondo le prescrizioni del D.M. 17/01/2018 le azioni di calcolo debbono essere cumulate secondo condizioni di carico tali da risultare più sfavorevoli ai fini delle singole verifiche, tenendo conto della ridotta probabilità di intervento simultaneo di tutte le azioni accidentali con i rispettivi valori più sfavorevoli.

Le combinazioni di carico generiche sono le seguenti:

- Combinazione fondamentale, generalmente impiegata per gli stati limite ultimi (SLU):

$$\gamma_{G1} \cdot G_1 + \gamma_{G2} \cdot G_2 + \gamma_P \cdot P + \gamma_{Q1} \cdot Q_{k1} + \gamma_{Q2} \cdot \psi_{02} \cdot Q_{k2} + \gamma_{Q3} \cdot \psi_{03} \cdot Q_{k3} + \dots \quad [2.5.1]$$

- Combinazione caratteristica, cosiddetta rara, generalmente impiegata per gli stati limite di esercizio (SLE) irreversibili:

$$G_1 + G_2 + P + Q_{k1} + \psi_{02} \cdot Q_{k2} + \psi_{03} \cdot Q_{k3} + \dots \quad [2.5.2]$$

- Combinazione frequente, generalmente impiegata per gli stati limite di esercizio (SLE) reversibili:

$$G_1 + G_2 + P + \psi_{11} \cdot Q_{k1} + \psi_{22} \cdot Q_{k2} + \psi_{23} \cdot Q_{k3} + \dots \quad [2.5.3]$$

- Combinazione quasi permanente (SLE), generalmente impiegata per gli effetti a lungo termine:

$$G_1 + G_2 + P + \psi_{21} \cdot Q_{k1} + \psi_{22} \cdot Q_{k2} + \psi_{23} \cdot Q_{k3} + \dots \quad [2.5.4]$$

- Combinazione sismica, impiegata per gli stati limite ultimi e di esercizio connessi all'azione sismica E:

$$E + G_1 + G_2 + P + \psi_{21} \cdot Q_{k1} + \psi_{22} \cdot Q_{k2} + \dots \quad [2.5.5]$$

Gli effetti dell'azione sismica saranno valutati tenendo conto delle masse associate ai seguenti carichi gravitazionali:

$$G_1 + G_2 + \sum_i \psi_{2j} Q_{kj} \quad [2.5.7]$$

Ai fini della determinazione dei valori caratteristici delle azioni dovute al traffico, si considerano le combinazioni riportate in Tabella 5.1.IV:

**Tabella 5.1.IV – Valori caratteristici delle azioni dovute al traffico**

Gruppo di azioni	Carichi sulla carreggiata					Carichi su marciapiedi e piste ciclabili
	Carichi verticali			Carichi orizzontali		Carichi verticali
	Modello principale (Schemi di carico 1, 2, 3, 4, 6)	Veicoli speciali	Folla (Schema di carico 5)	Frenatura $q_3$	Forza centrifuga $q_4$	Carico uniformemente distribuito
1	Valore caratteristico					Schema di carico 5 con valore di combinazione $2,5 \text{ kN/m}^2$
2 a	Valore frequente			Valore caratteristico		
2 b	Valore frequente				Valore caratteristico	
3 (*)						Schema di carico 5 con valore caratteristico $5,0 \text{ kN/m}^2$
4 (**)			Schema di carico 5 con valore caratteristico $5,0 \text{ kN/m}^2$			Schema di carico 5 con valore caratteristico $5,0 \text{ kN/m}^2$
5 (***)	Da definirsi per il singolo progetto	Valore caratteristico o nominale				

(\*) Ponti di 3ª categoria  
 (\*\*) Da considerare solo se richiesto dal particolare progetto (ad es. ponti in zona urbana)  
 (\*\*\*) Da considerare solo se si considerano veicoli speciali

Per quel che riguarda i valori dei coefficienti parziali di sicurezza  $\gamma_{Gi}$ ,  $\gamma_{Qi}$  e  $\gamma_{\epsilon i}$  si considerano i valori riportati in Tabella 5.1.V:

**Tabella 5.1.V – Coefficienti parziali di sicurezza per le combinazioni di carico agli SLU**

		Coefficiente	EQU <sup>(1)</sup>	A1 STR	A2 GEO
Carichi permanenti	favorevoli	$\gamma_{G1}$	0,90	1,00	1,00
	sfavorevoli		1,10	1,35	1,00
Carichi permanenti non strutturali <sup>(2)</sup>	favorevoli	$\gamma_{G2}$	0,00	0,00	0,00
	sfavorevoli		1,50	1,50	1,30
Carichi variabili da traffico	favorevoli	$\gamma_Q$	0,00	0,00	0,00
	sfavorevoli		1,35	1,35	1,15
Carichi variabili	favorevoli	$\gamma_{Qi}$	0,00	0,00	0,00
	sfavorevoli		1,50	1,50	1,30
Distorsioni e presollecitazioni di progetto	favorevoli	$\gamma_{\epsilon 1}$	0,90	1,00	1,00
	sfavorevoli		1,00 <sup>(3)</sup>	1,00 <sup>(4)</sup>	1,00
Ritiro e viscosità, Variazioni termiche, Cedimenti vincolari	favorevoli	$\gamma_{\epsilon 2}, \gamma_{\epsilon 3}, \gamma_{\epsilon 4}$	0,00	0,00	0,00
	sfavorevoli		1,20	1,20	1,00

<sup>(1)</sup> Equilibrio che non coinvolga i parametri di deformabilità e resistenza del terreno; altrimenti si applicano i valori di GEO.  
<sup>(2)</sup> Nel caso in cui i carichi permanenti non strutturali (ad es. carichi permanenti portati) siano compiutamente definiti si potranno adottare gli stessi coefficienti validi per le azioni permanenti.  
<sup>(3)</sup> 1,30 per instabilità in strutture con precompressione esterna  
<sup>(4)</sup> 1,20 per effetti locali

Per quel che riguarda i valori dei coefficienti di combinazione delle azioni variabili  $\psi$  si considerano i valori raccomandati per i ponti stradali:

**Tabella 5.1.VI - Coefficienti  $\psi$  per le azioni variabili per ponti stradali e pedonali**

<i>Azioni</i>	<i>Gruppo di azioni (Tabella 5.1.IV)</i>	<i>Coefficiente <math>\psi_0</math> di combinazione</i>	<i>Coefficiente <math>\psi_1</math> (valori frequenti)</i>	<i>Coefficiente <math>\psi_2</math> (valori quasi permanenti)</i>
<i>Azioni da traffico (Tabella 5.1.IV)</i>	Schema 1 (Carichi tandem)	0,75	0,75	0,0
	Schemi 1, 5 e 6 (Carichi distribuiti)	0,40	0,40	0,0
	Schemi 3 e 4 (carichi concentrati)	0,40	0,40	0,0
	Schema 2	0,0	0,75	0,0
	2	0,0	0,0	0,0
	3	0,0	0,0	0,0
	4 (folla)	----	0,75	0,0
<i>Vento <math>q_5</math></i>	Vento a ponte scarico			
	SLU e SLE	0,6	0,2	0,0
	Esecuzione	0,8	----	0,0
	Vento a ponte carico	0,6		
<i>Neve <math>q_5</math></i>	SLU e SLE	0,0	0,0	0,0
	esecuzione	0,8	0,6	0,5
<i>Temperatura</i>	$T_k$	0,6	0,6	0,5

Le azioni descritte nel paragrafo precedente ed utilizzate nelle combinazioni di carico vengono di seguito riassunte:

Peso proprio	DEAD
Carichi permanenti	PERM-STR
Spinta del terreno sulla parete sinistra	SPTSX
Spinta del terreno sulla parete destra	SPTDX
Carico Variabile Stradale	ACCM-STR
Spinta del carico stradale Sulla parete Sx	SPACCSX
Spinta del carico stradale Sulla parete Dx	SPACCDX
Accelerazione e frenatura	AVV-STR
Variazione termica sulla soletta superiore	ENV_TERM
Ritiro	RITIRO
Azione sismica orizzontale	Sisma H-STR
Azione sismica verticale	Sisma V-STR
Incremento sismico della spinta	SPSDX/SX

La 4 condizioni di carico:

$$\Delta T_{\text{uniforme}} = \pm 15^\circ$$

$$\Delta T_{\text{differenziale}} = \pm 5^\circ$$

e le loro 4 combinazioni sono state preventivamente involuppate nella condizione ENV\_TERM, la quale viene impiegata nelle successive combinazioni di carico per massimizzare gli effetti termici.

Si riportano di seguito le combinazioni allo SLU di carico ritenute più significative in base all'esperienza.

Combinazione fondamentale

$$\gamma_{G1} \cdot G_1 + \gamma_{G2} \cdot G_2 + \gamma_P \cdot P + \gamma_{Q1} \cdot Q_{k1} + \gamma_{Q2} \cdot \psi_{02} \cdot Q_{k2} + \gamma_{Q3} \cdot \psi_{03} \cdot Q_{k3} + \dots$$

Combinazioni di carico SLU (nonsismiche)													
	1slu	2slu	3slu	4slu	5slu	6slu	7slu	8slu	9slu	10slu	11slu	12slu	13slu
DEAD	1.35	1.35	1.35	1.35	1.35	1.35	1.35	1	1.35	1.35	1.35	1.35	1.35
PERM-STR	1.5	1.5	1.5	1.5	1.5	1.5	1.5	1	1.5	1.5	1.5	1.5	1.5
SPTSX	1	1	1	1	1.35	1.35	1	1	1	1.35	1.35	1.35	1.35
SPTDX	1	1	1	1.35	1.35	1.35	1.35	1.35	1.35	1	1	1	1
ACCM-STR	1.35	1.35	1.35	1.35	1.35	0	1.35	0	1.35	1.35	1.012	1.012	1.012
SPACCSX	0	0	0	0	0	0	0	0	0	1.35	0	0	0
SPACCDX	1.35	0	0	1.35	1.35	1.35	1.35	1.35	1.35	0	1.012	1.012	1.012
AVV	1.35	1.35	1.35	1.35	1.35	0	1.35	0	0	0	0	0	1.35
ENV_TERM	0	-0.9	0	0	0	0	-0.9	0	0.9	-0.9	-1.5	1.5	0.9
RITIRO	0	1.2	0	0	0	0	0	0	1.2	1.2	1.2	1.2	1.2

Combinazione sismica, impiegata per gli stati limite ultimi e di esercizio connessi all'azione sismica E:

$$E + G_1 + G_2 + P + \psi_{21} \cdot Q_{k1} + \psi_{22} \cdot Q_{k2} + \dots$$

dove:

$$E = \pm 1.00 \times E_Y \pm 0.30 \times E_Z \quad \text{oppure} \quad E = \pm 0.30 \times E_Y \pm 1.00 \times E_Z$$

Combinazioni di Carico Sismiche								
	sh1	sh2	sh3	sh4	sv1	sv2	sv3	sv4
DEAD	1	1	1	1	1	1	1	1
PERM-STR	1	1	1	1	1	1	1	1
SPTSX	1	1	1	1	1	1	1	1
SPTDX	1	1	1	1	1	1	1	1
ACCM-STR	0.0	0.0	0.0	0.0	0.0	0.0	0.0	0.0
SPACCSX	0	0	0	0	0	0	0	0
SPACCDX	0.0	0.0	0.0	0.0	0.0	0.0	0.0	0.0
AVV-STR	0.0	0.0	0.0	0.0	0.0	0.0	0.0	0.0
ENV TERM	-0.5	-0.5	-0.5	-0.5	-0.5	-0.5	-0.5	-0.5
RITIRO	0	0	0	0	0	0	0	0
SISMA H-STR	1	1	1	1	0.3	0.3	0.3	0.3
SISMA V-STR	0.3	-0.3	0.3	-0.3	-1	1	-1	1
SPSDX	0	0	1	1	0	0	0.3	0.3
SPSSX	1	1	0	0	0.3	0.3	0	0

Le combinazioni sismiche vanno eseguite in entrambe le direzioni pertanto le combinazioni SH vanno ripetute per Sisma H = -1 e le combinazioni SV per Sisma V=-0.3.

Si riportano infine, le combinazioni di carico agli stati limite di esercizio SLE ritenute più significative.

Combinazione rara

$$G_1 + G_2 + P + Q_{k1} + \psi_{02} \cdot Q_{k2} + \psi_{03} \cdot Q_{k3} + \dots$$

Combinazioni di carico SLE			
	1sle	2sle	3sle
DEAD	1	1	1
PERM-STR	1	1	1
SPTSX	1	1	1
SPTDX	0.8	0.8	0.8
ACCM-STR	0.75	0.75	0.75
SPACCSX	0.75	0.75	0
SPACCDX	0.75	0.75	0.75
AVV-STR	-0.75	0.75	-0.75



DIRETTRICE FERROVIARIA MESSINA – CATANIA – PALERMO NODO DI CATANIA

INTERRAMENTO LINEA PER IL PROLUNGAMENTO DELLA PISTA DELL' AEROPORTO DI FONTANAROSSA E PER LA MESSA A STI DEL TRATTO DI LINEA INTERESSATO.

MACROFASE FUNZIONALE 1

LOTTO 02

Relazione di calcolo tombino stradale NI07

COMMESSA  
**RS3H**

LOTTO  
0 2 D 78

CODIFICA  
CL

DOCUMENTO  
NI.07.0.0.001

REV.  
A

FOGLIO  
24 di 63

ENV_TER	-0.6	0.6	-0.6
RITIRO	0	0	1

### 3.9. CARATTERISTICHE DELLE SOLLECITAZIONI

#### 3.9.1. *Inviluppo SLU*

##### CANNA DESTRA

Frame	Station	OutputCase	CaseTy	StepTy	P	V2	M3
3	0,2	ENVELOPE SLU	Combinat	Max		0,0	473,8 322,5
3	0,34	ENVELOPE SLU	Combinat	Max		0,0	476,2 256,0
3	0,34	ENVELOPE SLU	Combinat	Max		0,0	424,9 256,0
3	0,68	ENVELOPE SLU	Combinat	Max		0,0	430,6 110,5
3	0,68	ENVELOPE SLU	Combinat	Max		0,0	378,3 110,5
3	1,02	ENVELOPE SLU	Combinat	Max		0,0	384,0 0,3
3	1,02	ENVELOPE SLU	Combinat	Max		0,0	304,1 0,3
3	1,36	ENVELOPE SLU	Combinat	Max		0,0	309,8 -2,0
3	1,36	ENVELOPE SLU	Combinat	Max		0,0	228,4 -2,0
3	1,7	ENVELOPE SLU	Combinat	Max		0,0	234,1 -0,9
3	1,7	ENVELOPE SLU	Combinat	Max		0,0	151,0 -0,9
3	2,04	ENVELOPE SLU	Combinat	Max		0,0	156,7 3,6
3	2,04	ENVELOPE SLU	Combinat	Max		0,0	71,7 3,6
3	2,38	ENVELOPE SLU	Combinat	Max		0,0	77,4 11,3
3	2,38	ENVELOPE SLU	Combinat	Max		0,0	-10,0 11,3
3	2,72	ENVELOPE SLU	Combinat	Max		0,0	-4,3 22,2
3	2,72	ENVELOPE SLU	Combinat	Max		0,0	-42,9 22,2
3	3,06	ENVELOPE SLU	Combinat	Max		0,0	-38,7 36,0
3	3,06	ENVELOPE SLU	Combinat	Max		0,0	-57,2 36,0
3	3,2	ENVELOPE SLU	Combinat	Max		0,0	-55,4 43,9
3	0,2	ENVELOPE SLU	Combinat	Min		0,0	30,0 18,6
3	0,34	ENVELOPE SLU	Combinat	Min		0,0	31,7 14,3
3	0,34	ENVELOPE SLU	Combinat	Min		0,0	21,3 14,3
3	0,68	ENVELOPE SLU	Combinat	Min		0,0	25,6 6,3
3	0,68	ENVELOPE SLU	Combinat	Min		0,0	15,5 6,3
3	1,02	ENVELOPE SLU	Combinat	Min		0,0	19,7 -32,0
3	1,02	ENVELOPE SLU	Combinat	Min		0,0	4,9 -32,0
3	1,36	ENVELOPE SLU	Combinat	Min		0,0	9,1 -136,0
3	1,36	ENVELOPE SLU	Combinat	Min		0,0	-5,4 -136,0
3	1,7	ENVELOPE SLU	Combinat	Min		0,0	-1,1 -214,4
3	1,7	ENVELOPE SLU	Combinat	Min		0,0	-15,3 -214,4
3	2,04	ENVELOPE SLU	Combinat	Min		0,0	-11,1 -266,4
3	2,04	ENVELOPE SLU	Combinat	Min		0,0	-26,0 -266,4
3	2,38	ENVELOPE SLU	Combinat	Min		0,0	-20,6 -291,4
3	2,38	ENVELOPE SLU	Combinat	Min		0,0	-77,2 -291,4
3	2,72	ENVELOPE SLU	Combinat	Min		0,0	-71,4 -288,5
3	2,72	ENVELOPE SLU	Combinat	Min		0,0	-127,7 -288,5
3	3,06	ENVELOPE SLU	Combinat	Min		0,0	-122,0 -256,6

3	3,06	ENVELOPE SLU	Combinati Min	0,0	-236,3	-256,6
3	3,2	ENVELOPE SLU	Combinati Min	0,0	-233,9	-225,0
42	0,2	ENVELOPE SLU	Combinati Max	-51,7	16,8	19,6
42	1,45	ENVELOPE SLU	Combinati Max	-64,2	16,8	34,0
42	2,7	ENVELOPE SLU	Combinati Max	-76,7	16,8	405,6
42	0,2	ENVELOPE SLU	Combinati Min	-514,3	-298,0	-339,2
42	1,45	ENVELOPE SLU	Combinati Min	-531,2	-298,0	-1,4
42	2,7	ENVELOPE SLU	Combinati Min	-548,0	-298,0	-22,3
7	0,2	ENVELOPE SLU	Combinati Max	74,0	-26,5	74,5
7	0,95	ENVELOPE SLU	Combinati Max	18,6	-6,8	119,9
7	1,7	ENVELOPE SLU	Combinati Max	-36,8	94,4	107,0
7	2,45	ENVELOPE SLU	Combinati Max	-58,9	195,7	64,6
7	3,2	ENVELOPE SLU	Combinati Max	-58,9	297,0	-21,9
7	0,2	ENVELOPE SLU	Combinati Min	-121,2	-202,8	-80,2
7	0,95	ENVELOPE SLU	Combinati Min	-121,2	-101,6	5,0
7	1,7	ENVELOPE SLU	Combinati Min	-121,2	-1,9	7,6
7	2,45	ENVELOPE SLU	Combinati Min	-174,8	19,7	-60,2
7	3,2	ENVELOPE SLU	Combinati Min	-230,2	35,0	-241,0
14	0,2	ENVELOPE SLU	Combinati Max	-43,2	-56,7	-15,0
14	1,45	ENVELOPE SLU	Combinati Max	-55,7	3,5	26,2
14	2,7	ENVELOPE SLU	Combinati Max	-68,2	89,1	147,4
14	0,2	ENVELOPE SLU	Combinati Min	-329,8	-225,7	-255,9
14	1,45	ENVELOPE SLU	Combinati Min	-346,7	-160,7	-43,0
14	2,7	ENVELOPE SLU	Combinati Min	-363,5	-134,9	-36,1



SEZIONE	P	V2	M3
<b>01</b>	0,0	476,2	322,5
<b>02</b>	0,0	0,0	291,4
<b>03</b>	-43,2	298,0	339,2
<b>04</b>	0,0	297,0	241,0
<b>05</b>	0,0	0,0	119,9
<b>06</b>	-68,2	298,0	405,6

CANNA CENTRALE

Frame	Station	OutputCase	CaseTy	StepTy	P	V2	M3	
2	0,2	ENVELOPE SLU	Combinati	Max		0,0	305,6	367,0
2	0,34	ENVELOPE SLU	Combinati	Max		0,0	308,0	324,0
2	0,34	ENVELOPE SLU	Combinati	Max		0,0	270,1	324,0
2	0,68	ENVELOPE SLU	Combinati	Max		0,0	275,8	231,2
2	0,68	ENVELOPE SLU	Combinati	Max		0,0	236,3	231,2
2	1,02	ENVELOPE SLU	Combinati	Max		0,0	242,0	149,9
2	1,02	ENVELOPE SLU	Combinati	Max		0,0	201,0	149,9
2	1,36	ENVELOPE SLU	Combinati	Max		0,0	206,8	80,6
2	1,36	ENVELOPE SLU	Combinati	Max		0,0	164,5	80,6
2	1,7	ENVELOPE SLU	Combinati	Max		0,0	170,2	23,7
2	1,7	ENVELOPE SLU	Combinati	Max		0,0	127,1	23,7
2	2,04	ENVELOPE SLU	Combinati	Max		0,0	132,8	32,9
2	2,04	ENVELOPE SLU	Combinati	Max		0,0	88,8	32,9
2	2,38	ENVELOPE SLU	Combinati	Max		0,0	94,5	56,5
2	2,38	ENVELOPE SLU	Combinati	Max		0,0	49,2	56,5
2	2,72	ENVELOPE SLU	Combinati	Max		0,0	54,9	92,8
2	2,72	ENVELOPE SLU	Combinati	Max		0,0	8,3	92,8
2	3,06	ENVELOPE SLU	Combinati	Max		0,0	14,0	141,8
2	3,06	ENVELOPE SLU	Combinati	Max		0,0	-34,0	141,8
2	3,2	ENVELOPE SLU	Combinati	Max		0,0	-31,6	167,4
2	0,2	ENVELOPE SLU	Combinati	Min		0,0	20,6	5,1
2	0,34	ENVELOPE SLU	Combinati	Min		0,0	22,4	2,1
2	0,34	ENVELOPE SLU	Combinati	Min		0,0	10,5	2,1
2	0,68	ENVELOPE SLU	Combinati	Min		0,0	14,8	-2,2
2	0,68	ENVELOPE SLU	Combinati	Min		0,0	3,1	-2,2
2	1,02	ENVELOPE SLU	Combinati	Min		0,0	7,3	-4,0
2	1,02	ENVELOPE SLU	Combinati	Min		0,0	-4,2	-4,0
2	1,36	ENVELOPE SLU	Combinati	Min		0,0	0,0	-3,3
2	1,36	ENVELOPE SLU	Combinati	Min		0,0	-11,4	-3,3
2	1,7	ENVELOPE SLU	Combinati	Min		0,0	-7,2	-0,1
2	1,7	ENVELOPE SLU	Combinati	Min		0,0	-34,6	-0,1
2	2,04	ENVELOPE SLU	Combinati	Min		0,0	-28,8	-35,8
2	2,04	ENVELOPE SLU	Combinati	Min		0,0	-72,2	-35,8
2	2,38	ENVELOPE SLU	Combinati	Min		0,0	-66,5	-66,9
2	2,38	ENVELOPE SLU	Combinati	Min		0,0	-109,6	-66,9
2	2,72	ENVELOPE SLU	Combinati	Min		0,0	-103,9	-84,6
2	2,72	ENVELOPE SLU	Combinati	Min		0,0	-146,9	-84,6
2	3,06	ENVELOPE SLU	Combinati	Min		0,0	-141,2	-88,4

2	3,06	ENVELOPE SLU	Combinati Min	0,0	-183,9	-88,4
2	3,2	ENVELOPE SLU	Combinati Min	0,0	-181,5	-83,8
41	0,2	ENVELOPE SLU	Combinati Max	-75,5	59,2	56,8
41	1,45	ENVELOPE SLU	Combinati Max	-88,0	59,2	0,4
41	2,7	ENVELOPE SLU	Combinati Max	-100,5	59,2	286,5
41	0,2	ENVELOPE SLU	Combinati Min	-470,1	-228,9	-287,5
41	1,45	ENVELOPE SLU	Combinati Min	-487,0	-228,9	-18,8
41	2,7	ENVELOPE SLU	Combinati Min	-503,8	-228,9	-92,9
5	0,2	ENVELOPE SLU	Combinati Max	30,0	-46,4	140,4
5	0,95	ENVELOPE SLU	Combinati Max	-25,4	37,3	150,4
5	1,7	ENVELOPE SLU	Combinati Max	-69,2	138,5	88,3
5	2,45	ENVELOPE SLU	Combinati Max	-69,2	239,8	64,6
5	3,2	ENVELOPE SLU	Combinati Max	-69,2	341,0	11,6
5	0,2	ENVELOPE SLU	Combinati Min	-129,9	-218,2	-129,3
5	0,95	ENVELOPE SLU	Combinati Min	-129,9	-116,9	-16,1
5	1,7	ENVELOPE SLU	Combinati Min	-141,9	-15,7	11,2
5	2,45	ENVELOPE SLU	Combinati Min	-197,3	-0,3	-97,6
5	3,2	ENVELOPE SLU	Combinati Min	-252,6	15,1	-315,4
42	0,2	ENVELOPE SLU	Combinati Max	-51,7	16,8	19,6
42	1,45	ENVELOPE SLU	Combinati Max	-64,2	16,8	34,0
42	2,7	ENVELOPE SLU	Combinati Max	-76,7	16,8	405,6
42	0,2	ENVELOPE SLU	Combinati Min	-514,3	-298,0	-339,2
42	1,45	ENVELOPE SLU	Combinati Min	-531,2	-298,0	-1,4
42	2,7	ENVELOPE SLU	Combinati Min	-548,0	-298,0	-22,3

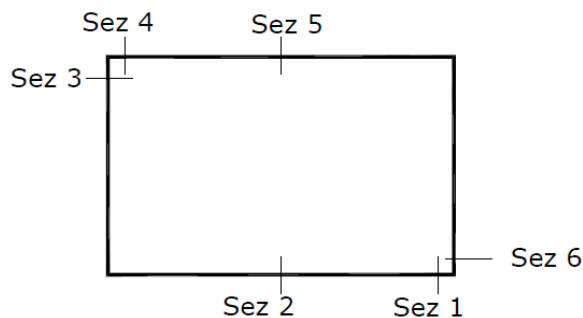


SEZIONE	P	V2	M3
01	0,0	308,0	367,0
02	0,0	0,0	88,4
03	-51,7	298,0	339,2
04	0,0	341,0	315,4
05	0,0	0,0	150,4
06	-76,7	298,0	405,6

CANNA SINISTRA

Frame	Station	OutputCase	CaseType	StepType	P	V2	M3
1	0,2	ENVELOPE SLU	Combination	Max		0,0	200,6
1	0,34	ENVELOPE SLU	Combination	Max		0,0	202,9
1	0,34	ENVELOPE SLU	Combination	Max		0,0	127,6
1	0,68	ENVELOPE SLU	Combination	Max		0,0	133,3
1	0,68	ENVELOPE SLU	Combination	Max		0,0	104,8
1	1,02	ENVELOPE SLU	Combination	Max		0,0	110,5
1	1,02	ENVELOPE SLU	Combination	Max		0,0	78,8
1	1,36	ENVELOPE SLU	Combination	Max		0,0	84,5
1	1,36	ENVELOPE SLU	Combination	Max		0,0	49,6
1	1,7	ENVELOPE SLU	Combination	Max		0,0	55,3
1	1,7	ENVELOPE SLU	Combination	Max		0,0	17,3
1	2,04	ENVELOPE SLU	Combination	Max		0,0	23,0
1	2,04	ENVELOPE SLU	Combination	Max		0,0	-18,2
1	2,38	ENVELOPE SLU	Combination	Max		0,0	-12,5
1	2,38	ENVELOPE SLU	Combination	Max		0,0	-56,9
1	2,72	ENVELOPE SLU	Combination	Max		0,0	-51,2
1	2,72	ENVELOPE SLU	Combination	Max		0,0	-69,3
1	3,06	ENVELOPE SLU	Combination	Max		0,0	-65,1
1	3,06	ENVELOPE SLU	Combination	Max		0,0	-77,1
1	3,2	ENVELOPE SLU	Combination	Max		0,0	-75,4
1	0,2	ENVELOPE SLU	Combination	Min		0,0	51,9
1	0,34	ENVELOPE SLU	Combination	Min		0,0	53,6
1	0,34	ENVELOPE SLU	Combination	Min		0,0	25,3
1	0,68	ENVELOPE SLU	Combination	Min		0,0	29,5
1	0,68	ENVELOPE SLU	Combination	Min		0,0	10,3
1	1,02	ENVELOPE SLU	Combination	Min		0,0	14,5
1	1,02	ENVELOPE SLU	Combination	Min		0,0	-9,5
1	1,36	ENVELOPE SLU	Combination	Min		0,0	-3,8
1	1,36	ENVELOPE SLU	Combination	Min		0,0	-66,3
1	1,7	ENVELOPE SLU	Combination	Min		0,0	-60,5
1	1,7	ENVELOPE SLU	Combination	Min		0,0	-123,3
1	2,04	ENVELOPE SLU	Combination	Min		0,0	-117,6
1	2,04	ENVELOPE SLU	Combination	Min		0,0	-180,9
1	2,38	ENVELOPE SLU	Combination	Min		0,0	-175,2
1	2,38	ENVELOPE SLU	Combination	Min		0,0	-239,2
1	2,72	ENVELOPE SLU	Combination	Min		0,0	-233,4
1	2,72	ENVELOPE SLU	Combination	Min		0,0	-276,5
1	3,06	ENVELOPE SLU	Combination	Min		0,0	-270,8

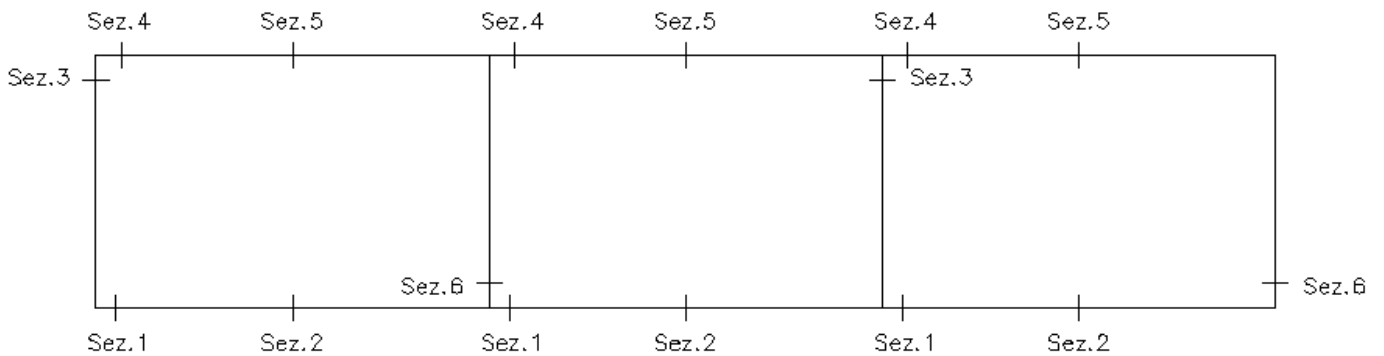
1	3,06	ENVELOPE SLU	Combination	Min	0,0	-314,2	33,7
1	3,2	ENVELOPE SLU	Combination	Min	0,0	-311,9	48,5
39	0,2	ENVELOPE SLU	Combination	Max	-50,8	102,0	119,5
39	1,45	ENVELOPE SLU	Combination	Max	-63,3	54,1	41,7
39	2,7	ENVELOPE SLU	Combination	Max	-75,8	28,3	153,0
39	0,2	ENVELOPE SLU	Combination	Min	-247,9	-69,1	-60,5
39	1,45	ENVELOPE SLU	Combination	Min	-264,8	-83,5	-0,3
39	2,7	ENVELOPE SLU	Combination	Min	-281,7	-109,3	-11,0
4	0,2	ENVELOPE SLU	Combination	Max	52,2	-42,6	100,9
4	0,95	ENVELOPE SLU	Combination	Max	-3,2	-13,4	152,9
4	1,7	ENVELOPE SLU	Combination	Max	-35,5	87,9	128,9
4	2,45	ENVELOPE SLU	Combination	Max	-35,5	189,1	79,7
4	3,2	ENVELOPE SLU	Combination	Max	-35,5	290,4	4,2
4	0,2	ENVELOPE SLU	Combination	Min	-121,2	-215,1	-88,7
4	0,95	ENVELOPE SLU	Combination	Min	-121,2	-113,8	-5,2
4	1,7	ENVELOPE SLU	Combination	Min	-121,2	-12,6	9,5
4	2,45	ENVELOPE SLU	Combination	Min	-146,1	3,5	-9,9
4	3,2	ENVELOPE SLU	Combination	Min	-201,5	18,9	-187,7
41	0,2	ENVELOPE SLU	Combination	Max	-75,5	59,2	56,8
41	1,45	ENVELOPE SLU	Combination	Max	-88,0	59,2	0,4
41	2,7	ENVELOPE SLU	Combination	Max	-100,5	59,2	286,5
41	0,2	ENVELOPE SLU	Combination	Min	-470,1	-228,9	-287,5
41	1,45	ENVELOPE SLU	Combination	Min	-487,0	-228,9	-18,8
41	2,7	ENVELOPE SLU	Combination	Min	-503,8	-228,9	-92,9



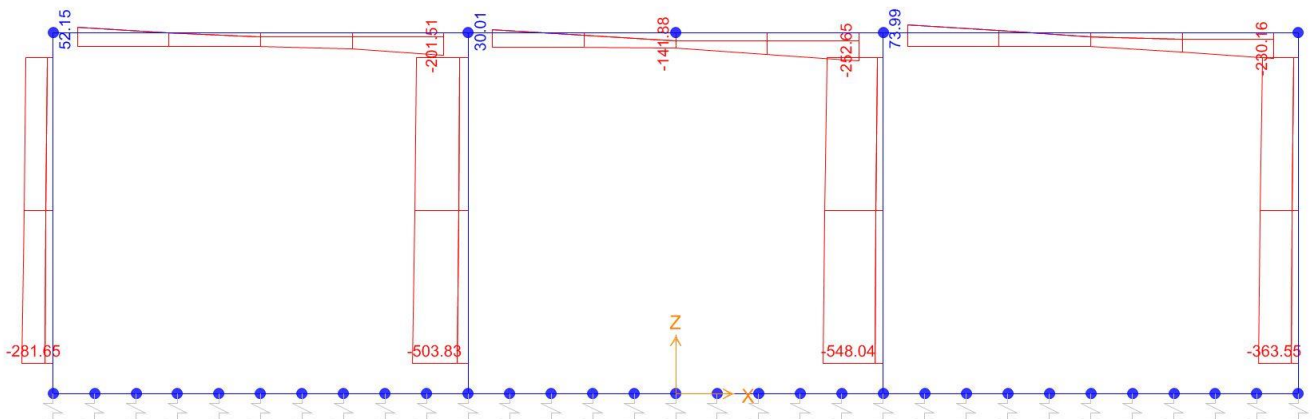
SEZIONE	P	V2	M3
01	0,0	314,2	207,1
02	0,0	0,0	135,5
03	-50,8	228,9	287,5
04	0,0	290,4	187,7
05	0,0	0,0	152,9
06	-75,8	228,9	286,5

Di seguito si riporta la tabella relativa alle massime sollecitazioni ottenute per l'**SLU** per le varie sezioni dimensionanti.

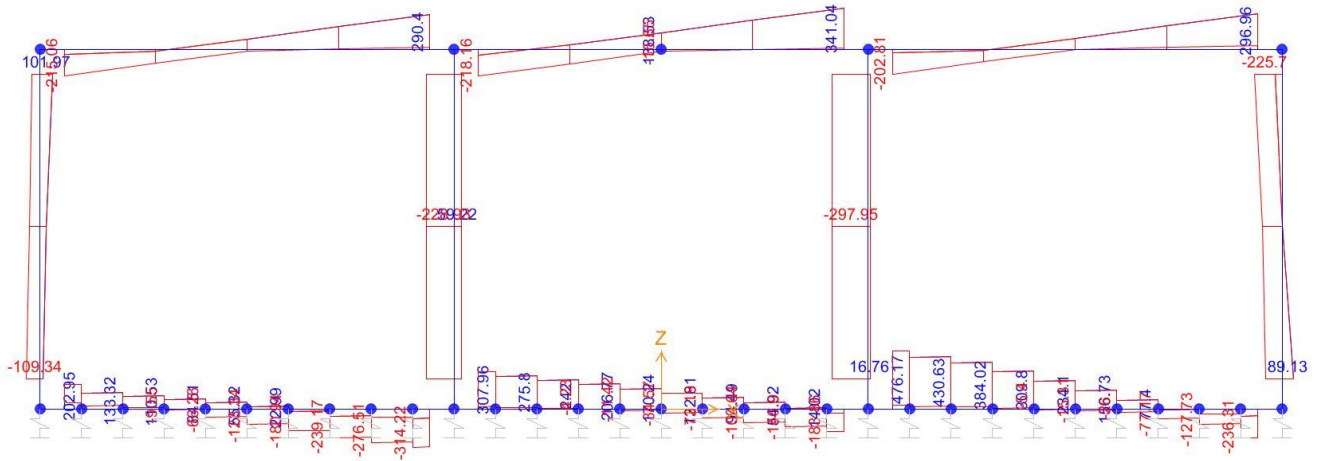
SEZIONE	P	V2	M3
01	0,0	476,2	367,0
02	0,0	0,0	291,4
03	-43,2	298,0	339,2
04	0,0	341,0	315,4
05	0,0	0,0	152,9
06	-68,2	298,0	405,6



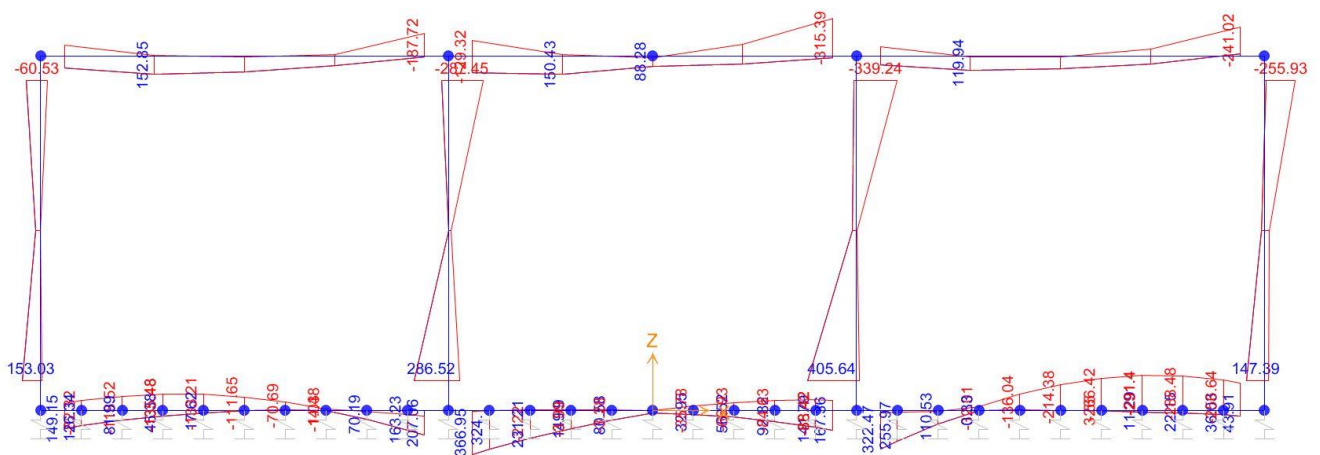
Diagrammi di involucro delle sollecitazioni: ENVELOPE SLU



Sforzo normale



*Taglio*



*Momento Flettente*

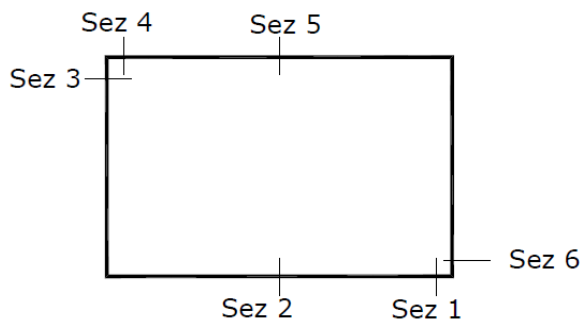
I valori V e M dei diagrammi corrispondono a quelli riportati nella tabella, mentre il valore dello sforzo normale P nei diagrammi (valore massimo) differisce da quello di verifica della tabella, pari a quello di compressione minimo.

### 3.9.2. Involuppo SLV

#### CANNA DESTRA

Frame	Station	OutputCase	CaseTy	StepTy	P	V2	M3
3	0,2	ENVELOPE SLV	Combinati	Max		0	89,953 58,7625
3	0,34	ENVELOPE SLV	Combinati	Max		0	91,702 46,0466
3	0,34	ENVELOPE SLV	Combinati	Max		0	78,824 46,0466
3	0,68	ENVELOPE SLV	Combinati	Max		0	83,073 18,524
3	0,68	ENVELOPE SLV	Combinati	Max		0	70,044 18,524
3	1,02	ENVELOPE SLV	Combinati	Max		0	74,293 -4,4699
3	1,02	ENVELOPE SLV	Combinati	Max		0	54,546 -4,4699
3	1,36	ENVELOPE SLV	Combinati	Max		0	58,795 -15,231
3	1,36	ENVELOPE SLV	Combinati	Max		0	38,835 -15,231
3	1,7	ENVELOPE SLV	Combinati	Max		0	43,083 -21,7326
3	1,7	ENVELOPE SLV	Combinati	Max		0	22,872 -21,7326
3	2,04	ENVELOPE SLV	Combinati	Max		0	27,121 -24,3314
3	2,04	ENVELOPE SLV	Combinati	Max		0	6,603 -24,3314
3	2,38	ENVELOPE SLV	Combinati	Max		0	10,851 -23,0113
3	2,38	ENVELOPE SLV	Combinati	Max		0	-9,254 -23,0113
3	2,72	ENVELOPE SLV	Combinati	Max		0	-5,005 -17,744
3	2,72	ENVELOPE SLV	Combinati	Max		0	-25,461 -17,744
3	3,06	ENVELOPE SLV	Combinati	Max		0	-21,212 -8,4899
3	3,06	ENVELOPE SLV	Combinati	Max		0	-45,539 -8,4899
3	3,2	ENVELOPE SLV	Combinati	Max		0	-43,789 -1,8252
3	0,2	ENVELOPE SLV	Combinati	Min		0	54,912 33,697
3	0,34	ENVELOPE SLV	Combinati	Min		0	56,662 25,8868
3	0,34	ENVELOPE SLV	Combinati	Min		0	46,171 25,8868
3	0,68	ENVELOPE SLV	Combinati	Min		0	50,419 9,4665
3	0,68	ENVELOPE SLV	Combinati	Min		0	39,93 9,4665
3	1,02	ENVELOPE SLV	Combinati	Min		0	44,179 -6,3754
3	1,02	ENVELOPE SLV	Combinati	Min		0	28,461 -6,3754
3	1,36	ENVELOPE SLV	Combinati	Min		0	32,709 -25,2812
3	1,36	ENVELOPE SLV	Combinati	Min		0	16,998 -25,2812
3	1,7	ENVELOPE SLV	Combinati	Min		0	21,247 -39,2073
3	1,7	ENVELOPE SLV	Combinati	Min		0	5,519 -39,2073
3	2,04	ENVELOPE SLV	Combinati	Min		0	9,768 -47,7062
3	2,04	ENVELOPE SLV	Combinati	Min		0	-6,007 -47,7062
3	2,38	ENVELOPE SLV	Combinati	Min		0	-1,758 -50,6734
3	2,38	ENVELOPE SLV	Combinati	Min		0	-20,246 -50,6734
3	2,72	ENVELOPE SLV	Combinati	Min		0	-15,998 -47,9811
3	2,72	ENVELOPE SLV	Combinati	Min		0	-34,93 -47,9811
3	3,06	ENVELOPE SLV	Combinati	Min		0	-30,682 -39,4768

3	3,06	ENVELOPE SLV	Combinati Min	0	-58,371	-39,4768
3	3,2	ENVELOPE SLV	Combinati Min	0	-56,622	-31,9542
42	0,2	ENVELOPE SLV	Combinati Max	-54,387	-15,754	-17,9226
42	1,45	ENVELOPE SLV	Combinati Max	-66,883	-17,281	4,2377
42	2,7	ENVELOPE SLV	Combinati Max	-79,38	-18,807	67,7803
42	0,2	ENVELOPE SLV	Combinati Min	-86,302	-43,203	-53,8583
42	1,45	ENVELOPE SLV	Combinati Min	-98,798	-48,29	1,8115
42	2,7	ENVELOPE SLV	Combinati Min	-111,295	-53,378	24,3661
7	0,2	ENVELOPE SLV	Combinati Max	-5,627	-11,607	21,4748
7	0,95	ENVELOPE SLV	Combinati Max	-11,882	2,828	25,6644
7	1,7	ENVELOPE SLV	Combinati Max	-18,137	17,274	22,6642
7	2,45	ENVELOPE SLV	Combinati Max	-20,734	33,585	9,2758
7	3,2	ENVELOPE SLV	Combinati Max	-22,611	49,896	-13,805
7	0,2	ENVELOPE SLV	Combinati Min	-25,936	-31,399	-14,9917
7	0,95	ENVELOPE SLV	Combinati Min	-27,813	-12,899	-1,3722
7	1,7	ENVELOPE SLV	Combinati Min	-30,355	5,563	-1,195
7	2,45	ENVELOPE SLV	Combinati Min	-36,61	17,809	-17,1854
7	3,2	ENVELOPE SLV	Combinati Min	-42,865	30,054	-45,4124
14	0,2	ENVELOPE SLV	Combinati Max	-37,419	-21,159	-16,1788
14	1,45	ENVELOPE SLV	Combinati Max	-49,915	-7,615	3,5789
14	2,7	ENVELOPE SLV	Combinati Max	-62,411	18,273	20,2417
14	0,2	ENVELOPE SLV	Combinati Min	-58,345	-41,447	-47,527
14	1,45	ENVELOPE SLV	Combinati Min	-70,841	-29,009	-4,254
14	2,7	ENVELOPE SLV	Combinati Min	-83,338	-8,283	-1,8937

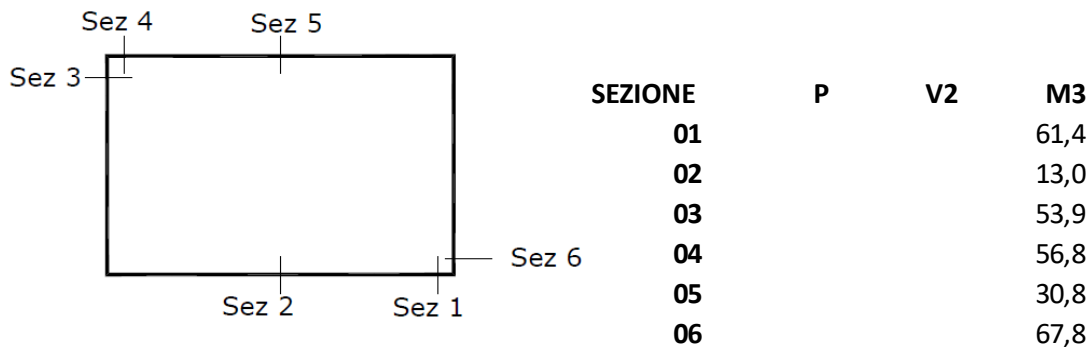


SEZIONE	P	V2	M3
01			58,8
02			50,7
03			53,9
04			45,4
05			25,7
06			67,8

CANNA CENTRALE

Frame	Station	OutputCase	CaseTy	StepTy	P	V2	M3
2	0,2	ENVELOPE SLV	Combinati	Max		0	55,168 61,384
2	0,34	ENVELOPE SLV	Combinati	Max		0	56,917 53,5381
2	0,34	ENVELOPE SLV	Combinati	Max		0	46,097 53,5381
2	0,68	ENVELOPE SLV	Combinati	Max		0	50,346 37,1428
2	0,68	ENVELOPE SLV	Combinati	Max		0	39,273 37,1428
2	1,02	ENVELOPE SLV	Combinati	Max		0	43,522 23,0676
2	1,02	ENVELOPE SLV	Combinati	Max		0	32,231 23,0676
2	1,36	ENVELOPE SLV	Combinati	Max		0	36,48 11,3866
2	1,36	ENVELOPE SLV	Combinati	Max		0	24,992 11,3866
2	1,7	ENVELOPE SLV	Combinati	Max		0	29,241 2,4339
2	1,7	ENVELOPE SLV	Combinati	Max		0	17,915 2,4339
2	2,04	ENVELOPE SLV	Combinati	Max		0	22,163 1,6878
2	2,04	ENVELOPE SLV	Combinati	Max		0	11 1,6878
2	2,38	ENVELOPE SLV	Combinati	Max		0	15,249 3,7383
2	2,38	ENVELOPE SLV	Combinati	Max		0	3,892 3,7383
2	2,72	ENVELOPE SLV	Combinati	Max		0	8,141 8,6017
2	2,72	ENVELOPE SLV	Combinati	Max		0	-3,421 8,6017
2	3,06	ENVELOPE SLV	Combinati	Max		0	0,828 16,2932
2	3,06	ENVELOPE SLV	Combinati	Max		0	-10,952 16,2932
2	3,2	ENVELOPE SLV	Combinati	Max		0	-9,202 20,8051
2	0,2	ENVELOPE SLV	Combinati	Min		0	33,02 29,6354
2	0,34	ENVELOPE SLV	Combinati	Min		0	34,77 24,8901
2	0,34	ENVELOPE SLV	Combinati	Min		0	24,775 24,8901
2	0,68	ENVELOPE SLV	Combinati	Min		0	29,024 15,7443
2	0,68	ENVELOPE SLV	Combinati	Min		0	18,956 15,7443
2	1,02	ENVELOPE SLV	Combinati	Min		0	23,205 8,577
2	1,02	ENVELOPE SLV	Combinati	Min		0	13,078 8,577
2	1,36	ENVELOPE SLV	Combinati	Min		0	17,326 3,4083
2	1,36	ENVELOPE SLV	Combinati	Min		0	7,148 3,4083
2	1,7	ENVELOPE SLV	Combinati	Min		0	11,397 0,2557
2	1,7	ENVELOPE SLV	Combinati	Min		0	0,07 0,2557
2	2,04	ENVELOPE SLV	Combinati	Min		0	4,319 -6,4852
2	2,04	ENVELOPE SLV	Combinati	Min		0	-8,155 -6,4852
2	2,38	ENVELOPE SLV	Combinati	Min		0	-3,907 -10,9476
2	2,38	ENVELOPE SLV	Combinati	Min		0	-16,428 -10,9476
2	2,72	ENVELOPE SLV	Combinati	Min		0	-12,18 -12,9932
2	2,72	ENVELOPE SLV	Combinati	Min		0	-24,747 -12,9932
2	3,06	ENVELOPE SLV	Combinati	Min		0	-20,498 -12,5523

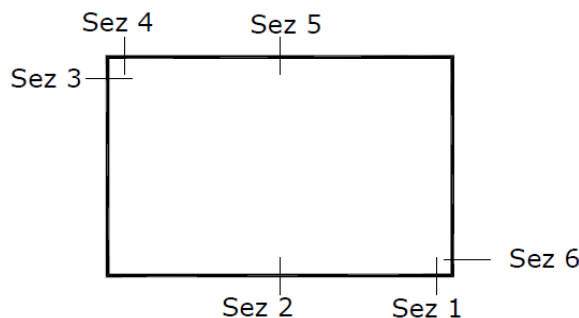
2	3,06	ENVELOPE SLV	Combinati Min	0	-33,103	-12,5523
2	3,2	ENVELOPE SLV	Combinati Min	0	-31,353	-11,1415
41	0,2	ENVELOPE SLV	Combinati Max	-49,592	-0,333	-3,9446
41	1,45	ENVELOPE SLV	Combinati Max	-62,089	-1,86	-0,8674
41	2,7	ENVELOPE SLV	Combinati Max	-74,585	-3,386	43,2748
41	0,2	ENVELOPE SLV	Combinati Min	-81,507	-27,683	-39,563
41	1,45	ENVELOPE SLV	Combinati Min	-94,003	-32,77	-3,4867
41	2,7	ENVELOPE SLV	Combinati Min	-106,5	-37,858	-0,2083
5	0,2	ENVELOPE SLV	Combinati Max	-18,986	-7,995	29,896
5	0,95	ENVELOPE SLV	Combinati Max	-25,241	6,44	30,8138
5	1,7	ENVELOPE SLV	Combinati Max	-27,308	20,874	22,3731
5	2,45	ENVELOPE SLV	Combinati Max	-29,185	37,185	11,4081
5	3,2	ENVELOPE SLV	Combinati Max	-31,061	53,497	-7,5115
5	0,2	ENVELOPE SLV	Combinati Min	-35,021	-31,631	-19,6631
5	0,95	ENVELOPE SLV	Combinati Min	-36,897	-13,13	-3,9939
5	1,7	ENVELOPE SLV	Combinati Min	-39,563	5,37	-3,4294
5	2,45	ENVELOPE SLV	Combinati Min	-45,818	17,615	-23,1734
5	3,2	ENVELOPE SLV	Combinati Min	-52,073	29,861	-56,8443
42	0,2	ENVELOPE SLV	Combinati Max	-54,387	-15,754	-17,9226
42	1,45	ENVELOPE SLV	Combinati Max	-66,883	-17,281	4,2377
42	2,7	ENVELOPE SLV	Combinati Max	-79,38	-18,807	67,7803
42	0,2	ENVELOPE SLV	Combinati Min	-86,302	-43,203	-53,8583
42	1,45	ENVELOPE SLV	Combinati Min	-98,798	-48,29	1,8115
42	2,7	ENVELOPE SLV	Combinati Min	-111,295	-53,378	24,3661



CANNA SINISTRA

Frame	Station	OutputCase	CaseType	StepType	P	V2	M3
1	0,2	ENVELOPE SLV	Combination	Max		0	54,525 35,9445
1	0,34	ENVELOPE SLV	Combination	Max		0	56,274 29,3747
1	0,34	ENVELOPE SLV	Combination	Max		0	34,231 29,3747
1	0,68	ENVELOPE SLV	Combination	Max		0	38,479 17,584
1	0,68	ENVELOPE SLV	Combination	Max		0	26,589 17,584
1	1,02	ENVELOPE SLV	Combination	Max		0	30,838 8,0897
1	1,02	ENVELOPE SLV	Combination	Max		0	18,575 8,0897
1	1,36	ENVELOPE SLV	Combination	Max		0	22,824 1,0518
1	1,36	ENVELOPE SLV	Combination	Max		0	10,89 1,0518
1	1,7	ENVELOPE SLV	Combination	Max		0	15,139 -3,3732
1	1,7	ENVELOPE SLV	Combination	Max		0	2,745 -3,3732
1	2,04	ENVELOPE SLV	Combination	Max		0	6,993 -5,0286
1	2,04	ENVELOPE SLV	Combination	Max		0	-5,867 -5,0286
1	2,38	ENVELOPE SLV	Combination	Max		0	-1,618 -3,3938
1	2,38	ENVELOPE SLV	Combination	Max		0	-14,953 -3,3938
1	2,72	ENVELOPE SLV	Combination	Max		0	-10,704 9,5152
1	2,72	ENVELOPE SLV	Combination	Max		0	-19,915 9,5152
1	3,06	ENVELOPE SLV	Combination	Max		0	-15,666 26,8619
1	3,06	ENVELOPE SLV	Combination	Max		0	-25,197 26,8619
1	3,2	ENVELOPE SLV	Combination	Max		0	-23,448 35,253
1	0,2	ENVELOPE SLV	Combination	Min		0	41,692 4,1687
1	0,34	ENVELOPE SLV	Combination	Min		0	43,442 -3,1755
1	0,34	ENVELOPE SLV	Combination	Min		0	24,156 -3,1755
1	0,68	ENVELOPE SLV	Combination	Min		0	28,404 -14,0106
1	0,68	ENVELOPE SLV	Combination	Min		0	14,991 -14,0106
1	1,02	ENVELOPE SLV	Combination	Min		0	19,24 -20,724
1	1,02	ENVELOPE SLV	Combination	Min		0	5,363 -20,724
1	1,36	ENVELOPE SLV	Combination	Min		0	9,612 -23,2698
1	1,36	ENVELOPE SLV	Combination	Min		0	-7,06 -23,2698
1	1,7	ENVELOPE SLV	Combination	Min		0	-2,811 -21,5917
1	1,7	ENVELOPE SLV	Combination	Min		0	-19,683 -21,5917
1	2,04	ENVELOPE SLV	Combination	Min		0	-15,434 -15,6219
1	2,04	ENVELOPE SLV	Combination	Min		0	-32,536 -15,6219
1	2,38	ENVELOPE SLV	Combination	Min		0	-28,288 -5,644
1	2,38	ENVELOPE SLV	Combination	Min		0	-45,645 -5,644
1	2,72	ENVELOPE SLV	Combination	Min		0	-41,396 0,6058
1	2,72	ENVELOPE SLV	Combination	Min		0	-53,144 0,6058
1	3,06	ENVELOPE SLV	Combination	Min		0	-48,895 6,6546

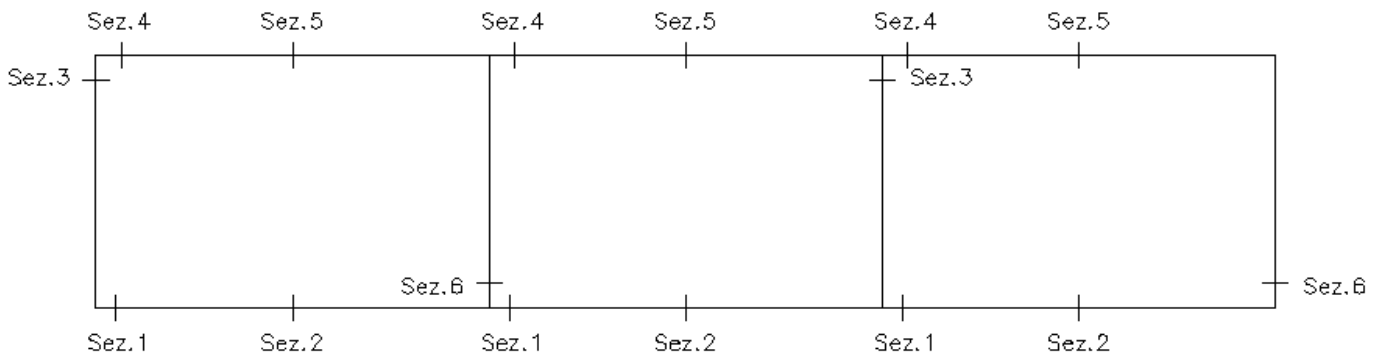
1	3,06	ENVELOPE SLV	Combination	Min	0	-60,811	6,6546
1	3,2	ENVELOPE SLV	Combination	Min	0	-59,062	10,0597
39	0,2	ENVELOPE SLV	Combination	Max	-27,604	24,598	23,0627
39	1,45	ENVELOPE SLV	Combination	Max	-40,1	7,731	2,2532
39	2,7	ENVELOPE SLV	Combination	Max	-52,597	-19,609	31,3495
39	0,2	ENVELOPE SLV	Combination	Min	-47,955	7,996	-7,6877
39	1,45	ENVELOPE SLV	Combination	Min	-60,451	-13,713	-7,253
39	2,7	ENVELOPE SLV	Combination	Min	-72,947	-49,952	8,4882
4	0,2	ENVELOPE SLV	Combination	Max	-12,674	-19,655	10,0703
4	0,95	ENVELOPE SLV	Combination	Max	-18,929	-5,221	22,4774
4	1,7	ENVELOPE SLV	Combination	Max	-20,972	9,214	24,2351
4	2,45	ENVELOPE SLV	Combination	Max	-22,848	25,513	18,7383
4	3,2	ENVELOPE SLV	Combination	Max	-24,725	41,824	3,3824
4	0,2	ENVELOPE SLV	Combination	Min	-28,05	-38,922	-20,2576
4	0,95	ENVELOPE SLV	Combination	Min	-31,147	-20,421	-3,1363
4	1,7	ENVELOPE SLV	Combination	Min	-37,402	-1,921	0,6182
4	2,45	ENVELOPE SLV	Combination	Min	-43,657	10,363	-8,282
4	3,2	ENVELOPE SLV	Combination	Min	-49,912	22,608	-32,6359
41	0,2	ENVELOPE SLV	Combination	Max	-49,592	-0,333	-3,9446
41	1,45	ENVELOPE SLV	Combination	Max	-62,089	-1,86	-0,8674
41	2,7	ENVELOPE SLV	Combination	Max	-74,585	-3,386	43,2748
41	0,2	ENVELOPE SLV	Combination	Min	-81,507	-27,683	-39,563
41	1,45	ENVELOPE SLV	Combination	Min	-94,003	-32,77	-3,4867
41	2,7	ENVELOPE SLV	Combination	Min	-106,5	-37,858	-0,2083



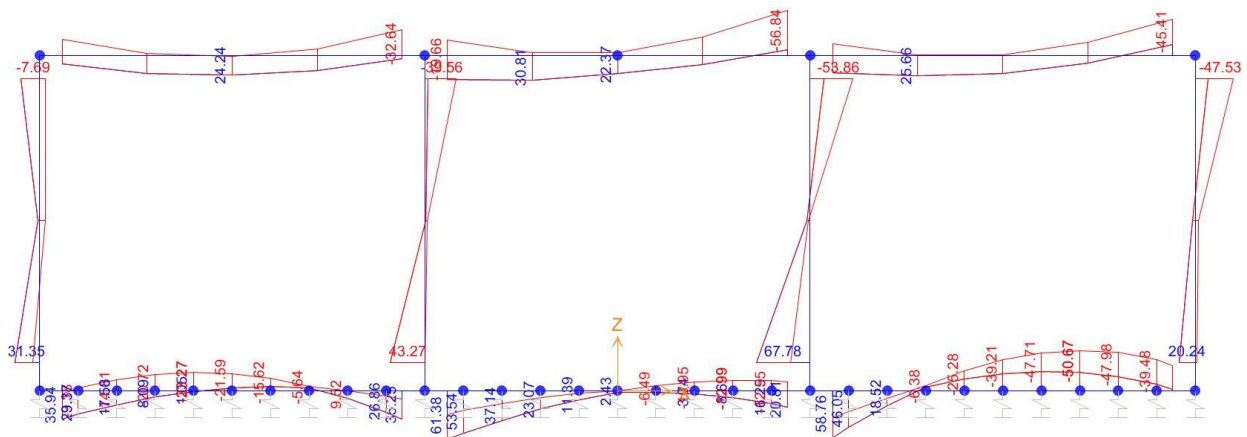
SEZIONE	P	V2	M3
01			35,9
02			23,3
03			39,6
04			32,6
05			24,2
06			43,3

Di seguito si riporta la tabella relativa ai massimi momenti ottenuti per l'**SLV** per le varie sezioni dimensionanti utilizzati per le verifiche sismiche allo stato limite elastico.

SEZIONE	P	V2	M3
01	0,0	0,0	61,4
02	0,0	0,0	50,7
03	0,0	0,0	53,9
04	0,0	0,0	56,8
05	0,0	0,0	30,8
06	0,0	0,0	67,8



Diagrammi di inviluppo del momento: ENVELOPE SLV



Momento Flettente

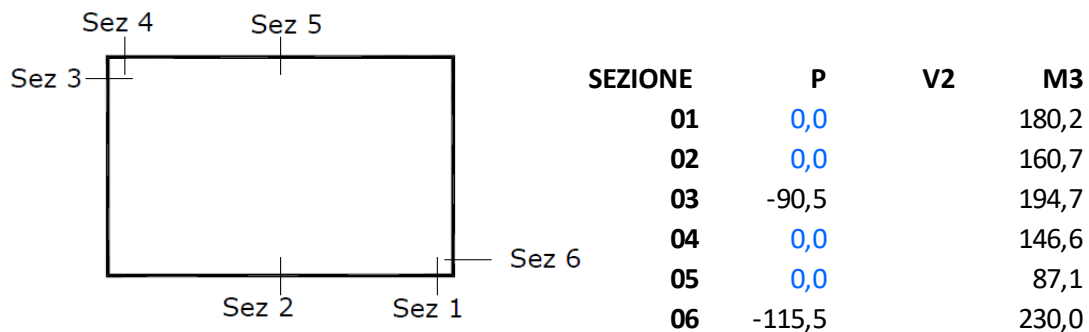
I valori M dei diagrammi corrispondono a quelli riportati nella tabella.

### 3.9.3. Involuppo SLE\_rara

#### CANNA DESTRA

Frame	Station	OutputCase	CaseTy	StepTy	P	V2	M3	
3	0,2	ENVELOPE SLER Combinati	Max			0,0	272,9	180,2
3	0,34	ENVELOPE SLER Combinati	Max			0,0	274,6	141,8
3	0,34	ENVELOPE SLER Combinati	Max			0,0	243,7	141,8
3	0,68	ENVELOPE SLER Combinati	Max			0,0	248,0	58,2
3	0,68	ENVELOPE SLER Combinati	Max			0,0	216,4	58,2
3	1,02	ENVELOPE SLER Combinati	Max			0,0	220,7	4,4
3	1,02	ENVELOPE SLER Combinati	Max			0,0	172,5	4,4
3	1,36	ENVELOPE SLER Combinati	Max			0,0	176,7	2,8
3	1,36	ENVELOPE SLER Combinati	Max			0,0	127,7	2,8
3	1,7	ENVELOPE SLER Combinati	Max			0,0	131,9	8,9
3	1,7	ENVELOPE SLER Combinati	Max			0,0	81,8	8,9
3	2,04	ENVELOPE SLER Combinati	Max			0,0	86,1	21,7
3	2,04	ENVELOPE SLER Combinati	Max			0,0	34,8	21,7
3	2,38	ENVELOPE SLER Combinati	Max			0,0	39,1	40,5
3	2,38	ENVELOPE SLER Combinati	Max			0,0	-13,6	40,5
3	2,72	ENVELOPE SLER Combinati	Max			0,0	-9,3	64,7
3	2,72	ENVELOPE SLER Combinati	Max			0,0	-63,6	64,7
3	3,06	ENVELOPE SLER Combinati	Max			0,0	-59,4	93,6
3	3,06	ENVELOPE SLER Combinati	Max			0,0	-102,5	93,6
3	3,2	ENVELOPE SLER Combinati	Max			0,0	-100,8	108,3
3	0,2	ENVELOPE SLER Combinati	Min			0,0	59,9	33,4
3	0,34	ENVELOPE SLER Combinati	Min			0,0	61,7	23,5
3	0,34	ENVELOPE SLER Combinati	Min			0,0	40,6	23,5
3	0,68	ENVELOPE SLER Combinati	Min			0,0	44,8	5,8
3	0,68	ENVELOPE SLER Combinati	Min			0,0	25,0	5,8
3	1,02	ENVELOPE SLER Combinati	Min			0,0	29,3	-16,5
3	1,02	ENVELOPE SLER Combinati	Min			0,0	1,5	-16,5
3	1,36	ENVELOPE SLER Combinati	Min			0,0	5,7	-75,4
3	1,36	ENVELOPE SLER Combinati	Min			0,0	-20,1	-75,4
3	1,7	ENVELOPE SLER Combinati	Min			0,0	-15,9	-119,6
3	1,7	ENVELOPE SLER Combinati	Min			0,0	-39,8	-119,6
3	2,04	ENVELOPE SLER Combinati	Min			0,0	-35,6	-148,1
3	2,04	ENVELOPE SLER Combinati	Min			0,0	-57,6	-148,1
3	2,38	ENVELOPE SLER Combinati	Min			0,0	-53,3	-160,7
3	2,38	ENVELOPE SLER Combinati	Min			0,0	-73,3	-160,7
3	2,72	ENVELOPE SLER Combinati	Min			0,0	-69,1	-156,8
3	2,72	ENVELOPE SLER Combinati	Min			0,0	-87,1	-156,8
3	3,06	ENVELOPE SLER Combinati	Min			0,0	-82,9	-135,9

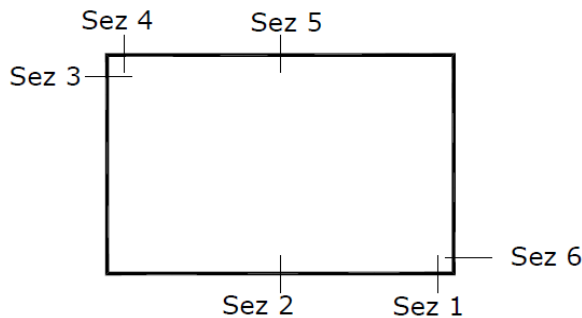
3	3,06	ENVELOPE SLER Combinat Min	0,0	-144,2	-135,9
3	3,2	ENVELOPE SLER Combinat Min	0,0	-142,5	-116,3
42	0,2	ENVELOPE SLER Combinat Max	-232,3	137,3	171,0
42	1,45	ENVELOPE SLER Combinat Max	-244,8	137,3	18,2
42	2,7	ENVELOPE SLER Combinat Max	-257,3	137,3	230,0
42	0,2	ENVELOPE SLER Combinat Min	-294,7	-169,4	-194,7
42	1,45	ENVELOPE SLER Combinat Min	-307,2	-169,4	-1,7
42	2,7	ENVELOPE SLER Combinat Min	-319,7	-169,4	-173,3
7	0,2	ENVELOPE SLER Combinat Max	-6,5	-60,8	44,3
7	0,95	ENVELOPE SLER Combinat Max	-37,3	-1,3	67,6
7	1,7	ENVELOPE SLER Combinat Max	-66,9	58,1	75,8
7	2,45	ENVELOPE SLER Combinat Max	-36,1	117,5	87,1
7	3,2	ENVELOPE SLER Combinat Max	-5,4	177,0	53,9
7	0,2	ENVELOPE SLER Combinat Min	-149,5	-167,2	-107,7
7	0,95	ENVELOPE SLER Combinat Min	-118,8	-107,7	-7,5
7	1,7	ENVELOPE SLER Combinat Min	-88,0	-48,3	24,4
7	2,45	ENVELOPE SLER Combinat Min	-106,6	11,1	-38,8
7	3,2	ENVELOPE SLER Combinat Min	-137,4	70,6	-146,6
14	0,2	ENVELOPE SLER Combinat Max	-90,5	13,6	35,3
14	1,45	ENVELOPE SLER Combinat Max	-103,0	53,4	-4,8
14	2,7	ENVELOPE SLER Combinat Max	-115,5	102,3	78,5
14	0,2	ENVELOPE SLER Combinat Min	-196,9	-134,8	-155,4
14	1,45	ENVELOPE SLER Combinat Min	-209,4	-95,1	-10,7
14	2,7	ENVELOPE SLER Combinat Min	-221,9	-46,2	-102,0



CANNA CENTRALE

Frame	Station	OutputCase	CaseTy	StepTy	P	V2	M3
2	0,2	ENVELOPE SLER	Combinati	Max		0,0	176,0
2	0,34	ENVELOPE SLER	Combinati	Max		0,0	177,7
2	0,34	ENVELOPE SLER	Combinati	Max		0,0	154,4
2	0,68	ENVELOPE SLER	Combinati	Max		0,0	158,6
2	0,68	ENVELOPE SLER	Combinati	Max		0,0	134,4
2	1,02	ENVELOPE SLER	Combinati	Max		0,0	138,6
2	1,02	ENVELOPE SLER	Combinati	Max		0,0	113,6
2	1,36	ENVELOPE SLER	Combinati	Max		0,0	117,8
2	1,36	ENVELOPE SLER	Combinati	Max		0,0	92,1
2	1,7	ENVELOPE SLER	Combinati	Max		0,0	96,3
2	1,7	ENVELOPE SLER	Combinati	Max		0,0	70,0
2	2,04	ENVELOPE SLER	Combinati	Max		0,0	74,2
2	2,04	ENVELOPE SLER	Combinati	Max		0,0	47,2
2	2,38	ENVELOPE SLER	Combinati	Max		0,0	51,4
2	2,38	ENVELOPE SLER	Combinati	Max		0,0	23,7
2	2,72	ENVELOPE SLER	Combinati	Max		0,0	27,9
2	2,72	ENVELOPE SLER	Combinati	Max		0,0	-0,6
2	3,06	ENVELOPE SLER	Combinati	Max		0,0	3,7
2	3,06	ENVELOPE SLER	Combinati	Max		0,0	-25,6
2	3,2	ENVELOPE SLER	Combinati	Max		0,0	-23,8
2	0,2	ENVELOPE SLER	Combinati	Min		0,0	21,2
2	0,34	ENVELOPE SLER	Combinati	Min		0,0	23,0
2	0,34	ENVELOPE SLER	Combinati	Min		0,0	-6,9
2	0,68	ENVELOPE SLER	Combinati	Min		0,0	-2,7
2	0,68	ENVELOPE SLER	Combinati	Min		0,0	-31,8
2	1,02	ENVELOPE SLER	Combinati	Min		0,0	-27,5
2	1,02	ENVELOPE SLER	Combinati	Min		0,0	-55,8
2	1,36	ENVELOPE SLER	Combinati	Min		0,0	-51,6
2	1,36	ENVELOPE SLER	Combinati	Min		0,0	-79,2
2	1,7	ENVELOPE SLER	Combinati	Min		0,0	-74,9
2	1,7	ENVELOPE SLER	Combinati	Min		0,0	-101,8
2	2,04	ENVELOPE SLER	Combinati	Min		0,0	-97,6
2	2,04	ENVELOPE SLER	Combinati	Min		0,0	-123,8
2	2,38	ENVELOPE SLER	Combinati	Min		0,0	-119,5
2	2,38	ENVELOPE SLER	Combinati	Min		0,0	-144,9
2	2,72	ENVELOPE SLER	Combinati	Min		0,0	-140,7
2	2,72	ENVELOPE SLER	Combinati	Min		0,0	-165,2
2	3,06	ENVELOPE SLER	Combinati	Min		0,0	-161,0

2	3,06	ENVELOPE SLER Combinati Min	0,0	-184,5	-48,2
2	3,2	ENVELOPE SLER Combinati Min	0,0	-182,8	-44,7
41	0,2	ENVELOPE SLER Combinati Max	-232,4	176,9	202,3
41	1,45	ENVELOPE SLER Combinati Max	-244,9	176,9	1,4
41	2,7	ENVELOPE SLER Combinati Max	-257,4	176,9	156,8
41	0,2	ENVELOPE SLER Combinati Min	-303,4	-124,4	-155,1
41	1,45	ENVELOPE SLER Combinati Min	-315,9	-124,4	-19,9
41	2,7	ENVELOPE SLER Combinati Min	-328,4	-124,4	-240,9
5	0,2	ENVELOPE SLER Combinati Max	-36,3	-41,1	76,4
5	0,95	ENVELOPE SLER Combinati Max	-67,1	18,4	84,9
5	1,7	ENVELOPE SLER Combinati Max	-69,1	77,8	54,3
5	2,45	ENVELOPE SLER Combinati Max	-38,3	137,3	95,0
5	3,2	ENVELOPE SLER Combinati Max	-7,6	196,7	91,1
5	0,2	ENVELOPE SLER Combinati Min	-167,4	-202,9	-187,7
5	0,95	ENVELOPE SLER Combinati Min	-136,6	-143,4	-57,8
5	1,7	ENVELOPE SLER Combinati Min	-105,8	-84,0	22,0
5	2,45	ENVELOPE SLER Combinati Min	-136,6	-24,5	-58,7
5	3,2	ENVELOPE SLER Combinati Min	-167,4	34,9	-183,9
42	0,2	ENVELOPE SLER Combinati Max	-232,3	137,3	171,0
42	1,45	ENVELOPE SLER Combinati Max	-244,8	137,3	18,2
42	2,7	ENVELOPE SLER Combinati Max	-257,3	137,3	230,0
42	0,2	ENVELOPE SLER Combinati Min	-294,7	-169,4	-194,7
42	1,45	ENVELOPE SLER Combinati Min	-307,2	-169,4	-1,7
42	2,7	ENVELOPE SLER Combinati Min	-319,7	-169,4	-173,3



SEZIONE	P	V2	M3
01	0,0		221,6
02	0,0		48,2
03	-232,3		202,3
04	0,0		187,7
05	0,0		95,0
06	-257,3		240,9

CANNA SINISTRA

Frame	Station	OutputCase	CaseType	StepType	P	V2	M3
1	0,2	ENVELOPE SLER Combination	Max			0,0	142,8
1	0,34	ENVELOPE SLER Combination	Max			0,0	144,6
1	0,34	ENVELOPE SLER Combination	Max			0,0	82,4
1	0,68	ENVELOPE SLER Combination	Max			0,0	86,7
1	0,68	ENVELOPE SLER Combination	Max			0,0	66,9
1	1,02	ENVELOPE SLER Combination	Max			0,0	71,2
1	1,02	ENVELOPE SLER Combination	Max			0,0	49,7
1	1,36	ENVELOPE SLER Combination	Max			0,0	54,0
1	1,36	ENVELOPE SLER Combination	Max			0,0	30,8
1	1,7	ENVELOPE SLER Combination	Max			0,0	35,1
1	1,7	ENVELOPE SLER Combination	Max			0,0	10,2
1	2,04	ENVELOPE SLER Combination	Max			0,0	14,5
1	2,04	ENVELOPE SLER Combination	Max			0,0	-12,1
1	2,38	ENVELOPE SLER Combination	Max			0,0	-7,8
1	2,38	ENVELOPE SLER Combination	Max			0,0	-36,1
1	2,72	ENVELOPE SLER Combination	Max			0,0	-31,8
1	2,72	ENVELOPE SLER Combination	Max			0,0	-51,8
1	3,06	ENVELOPE SLER Combination	Max			0,0	-47,5
1	3,06	ENVELOPE SLER Combination	Max			0,0	-68,7
1	3,2	ENVELOPE SLER Combination	Max			0,0	-66,9
1	0,2	ENVELOPE SLER Combination	Min			0,0	103,3
1	0,34	ENVELOPE SLER Combination	Min			0,0	105,1
1	0,34	ENVELOPE SLER Combination	Min			0,0	54,9
1	0,68	ENVELOPE SLER Combination	Min			0,0	59,2
1	0,68	ENVELOPE SLER Combination	Min			0,0	4,2
1	1,02	ENVELOPE SLER Combination	Min			0,0	8,5
1	1,02	ENVELOPE SLER Combination	Min			0,0	-45,0
1	1,36	ENVELOPE SLER Combination	Min			0,0	-40,7
1	1,36	ENVELOPE SLER Combination	Min			0,0	-92,8
1	1,7	ENVELOPE SLER Combination	Min			0,0	-88,5
1	1,7	ENVELOPE SLER Combination	Min			0,0	-139,5
1	2,04	ENVELOPE SLER Combination	Min			0,0	-135,2
1	2,04	ENVELOPE SLER Combination	Min			0,0	-185,2
1	2,38	ENVELOPE SLER Combination	Min			0,0	-180,9
1	2,38	ENVELOPE SLER Combination	Min			0,0	-230,1
1	2,72	ENVELOPE SLER Combination	Min			0,0	-225,8
1	2,72	ENVELOPE SLER Combination	Min			0,0	-258,0
1	3,06	ENVELOPE SLER Combination	Min			0,0	-253,7

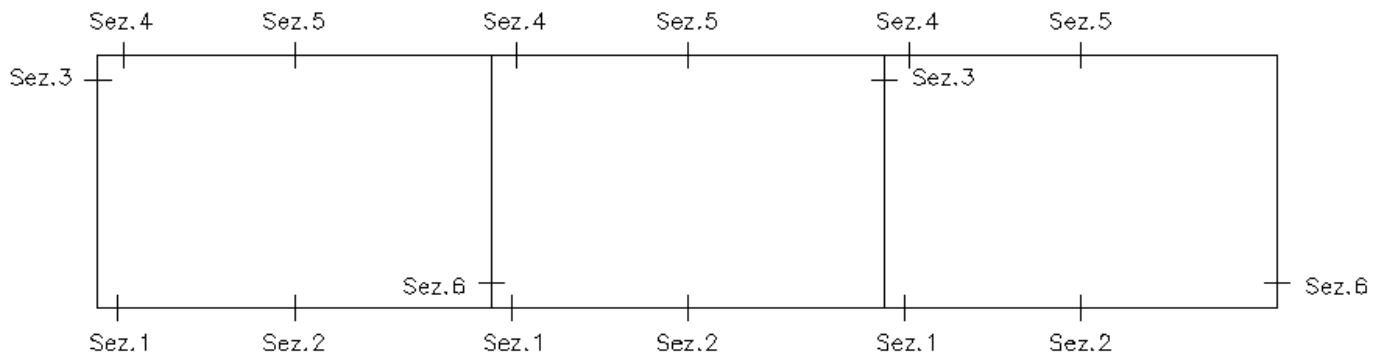
1	3,06	ENVELOPE SLER Combination	Min	0,0	-285,3	22,3
1	3,2	ENVELOPE SLER Combination	Min	0,0	-283,6	31,8
39	0,2	ENVELOPE SLER Combination	Max	-96,6	137,0	154,7
39	1,45	ENVELOPE SLER Combination	Max	-109,1	94,4	22,4
39	2,7	ENVELOPE SLER Combination	Max	-121,6	67,0	86,6
39	0,2	ENVELOPE SLER Combination	Min	-196,7	1,8	-20,2
39	1,45	ENVELOPE SLER Combination	Min	-209,2	-40,9	3,0
39	2,7	ENVELOPE SLER Combination	Min	-221,7	-94,9	-78,6
4	0,2	ENVELOPE SLER Combination	Max	-21,2	-76,6	36,9
4	0,95	ENVELOPE SLER Combination	Max	-52,0	-17,2	74,7
4	1,7	ENVELOPE SLER Combination	Max	-31,8	42,2	68,0
4	2,45	ENVELOPE SLER Combination	Max	-1,1	101,7	74,1
4	3,2	ENVELOPE SLER Combination	Max	29,7	161,1	48,9
4	0,2	ENVELOPE SLER Combination	Min	-140,0	-176,7	-146,5
4	0,95	ENVELOPE SLER Combination	Min	-109,2	-117,3	-38,8
4	1,7	ENVELOPE SLER Combination	Min	-90,6	-57,9	24,2
4	2,45	ENVELOPE SLER Combination	Min	-121,4	1,6	-7,9
4	3,2	ENVELOPE SLER Combination	Min	-152,1	61,0	-106,4
41	0,2	ENVELOPE SLER Combination	Max	-232,4	176,9	202,3
41	1,45	ENVELOPE SLER Combination	Max	-244,9	176,9	1,4
41	2,7	ENVELOPE SLER Combination	Max	-257,4	176,9	156,8
41	0,2	ENVELOPE SLER Combination	Min	-303,4	-124,4	-155,1
41	1,45	ENVELOPE SLER Combination	Min	-315,9	-124,4	-19,9
41	2,7	ENVELOPE SLER Combination	Min	-328,4	-124,4	-240,9



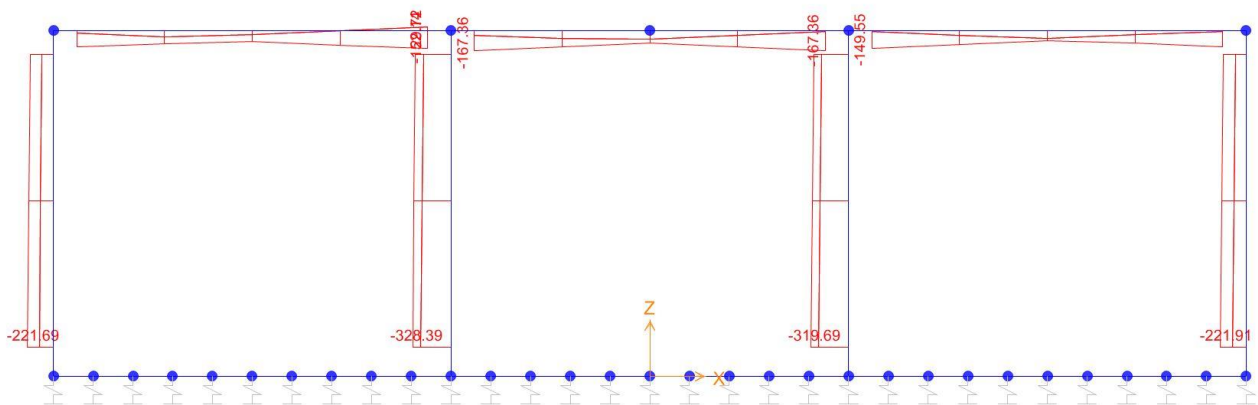
SEZIONE	P	V2	M3
01	0,0		196,5
02	0,0		162,1
03	-96,6		202,3
04	0,0		146,5
05	0,0		74,7
06	-121,6		240,9

Di seguito si riporta la tabella relativa ai massimi momenti ottenuti per l'**SLE** per le varie sezioni dimensionanti.

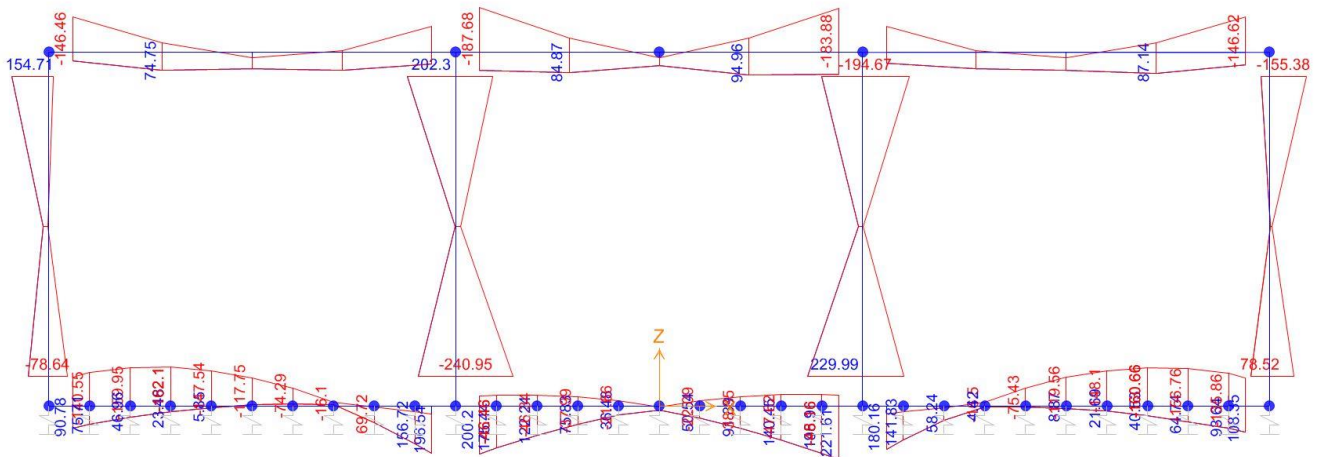
SEZIONE	P	V2	M3
<b>01</b>	0,0	0,0	221,6
<b>02</b>	0,0	0,0	162,1
<b>03</b>	-90,5	0,0	202,3
<b>04</b>	0,0	0,0	187,7
<b>05</b>	0,0	0,0	95,0
<b>06</b>	-115,5	0,0	240,9



*Diagrammi di involuppo delle sollecitazioni: ENVELOPE SLE (rara)*



*Sforzo normale*



*Momento Flettente*

Il valore M dei diagrammi corrisponde a quello riportato nella tabella, mentre il valore dello sforzo normale P nei diagrammi (valore massimo) differisce da quello di verifica della tabella, pari a quello di compressione minimo.

### 3.10. VERIFICHE SLU/SLE

Le verifiche SLU sono state effettuate allo stato limite ultimo:

**Oggetto:**

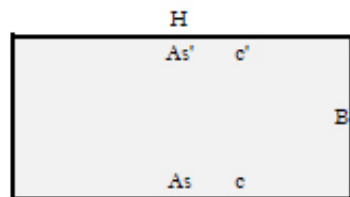
TOMBINO NI07\_2+564,00 - Nuovo NTC18

Sezione n°. 01

**Dati di Input:**

B	Base sezione rettangolare	1000 mm
H	Altezza sezione rettangolare	500 mm
c'	Copri ferro armatura sup. compressa	70 mm
c	Copri ferro armatura inf. Tesa	70 mm
d	Altezza utile = H-c	430 mm
fck	Resistenza caratt. Cilindrica calcestruzzo	30 MPa
fyk	Resistenza caratt. Snervamento acciaio	450 MPa
Ned	Sforzo normale di calcolo [(+)Trazione]	0,0 kN
Med	Momento flettente di calcolo [(+)]	367,0 kNm
Ved	Taglio di calcolo [(+)]	476,2 kN
Ted	Torsione di calcolo [(+)]	0 kNm
Fi1	1° diametro armatura tesa	24
Fi2	2° diametro armatura tesa	
n1	N°. Barre 1° armatura tesa	10
n2	N°. Barre 2° armatura tesa	
As'	Armatura superiore compressa	4524 mmq
As	Armatura inferiore tesa	4524 mmq
Fi Staffe	Diametro staffe	12 mm
s. Staffe	Passo staffe	150 mm
bracci	Numero Bracci staffe	2
cofθ	(proiez.orizz.)/(proiez.vert.) puntone ds	2,5 [range: 1,0-2,5]
alpha	angolo staffe/piegati rispetto all'orizzontale	90,0°
Asw	Area a taglio per unità di lunghezza	1508 mmq/m
<R-F-P>	Combinaz. SLE (rara,frequente,qperm)	R
Msle	Momento di esercizio [(+)]	221,6 kNm
Nsle	Sforzo normale di esercizio [(+)Trazione]	0,0 kN
wk-lim	Stato limite apertura fessure (Freq.Perm)	0,20 mm
sigR-lim	Tensione limite cls comb. Rara	0,60 fck
sigP-lim	Tensione limite cls comb. Quasi Perm	0,45 fck
sigS-R-lim	Tensione limite acc. Comb. Rara	0,80 fyk

**Geometria della Sezione:**



**Dati di Output:**

**SLU - Momento e Taglio resistenti**

<S-N>	Momento Ultimo resistente dissipativo <S/N>	S		
Mrd	Momento ultimo resistente	678 kNm	Coeff.S frutt.	54%
Vrd	Taglio ultimo resistente	571 kN	Coeff.S frutt.	83%
Trd	Momento torcente ultimo resistente	6 kNm	Coeff.S frutt.	
<b>SLE - Tensioni e ampiezza fessure</b>				
Sigs-sup	Tensione barre superiori [(-)Compresso]	-43 Mpa	Coeff.S frutt.	12%
Sigs-inf	Tensione barre inferiori [(+)Teso]	132 Mpa	Coeff.S frutt.	37%
Sigo-sup	Tensione cls superiore [(-)Compresso]	-5 Mpa	Coeff.S frutt.	28%
Sigo-inf	Tensione cls inferiore [non reag.Trazione]	0 Mpa		
Mcr	Momento di prima fessurazione	151 kNm		
wk	Ampiezza di fessura	0,15 mm	Coeff.S frutt.	77%
			Coeff.S frutt Max	83%

**Oggetto:**

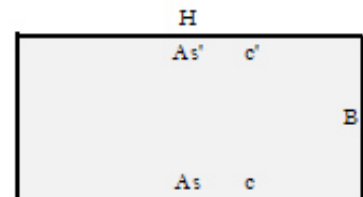
TOMBINO NI07\_2+564,00 - Nuovo NTC18

Sezione n° 02

**Dati di Input:**

B	Base sezione rettangolare	1000 mm	
H	Altezza sezione rettangolare	500 mm	
c'	Copriferro armatura sup. compressa	70 mm	
c	Copriferro armatura inf. Tesa	70 mm	
d	Altezza utile = H-c	430 mm	
fck	Resistenza caratt. Cilindrica calcestruzzo	30 MPa	
fyk	Resistenza caratt. Snervamento acciaio	450 MPa	
Ned	Sforzo normale di calcolo [(+)Trazione]	0,0 kN	
Med	Momento flettente di calcolo [(+)]	291,4 kNm	
Ved	Taglio di calcolo [(+)]	0,0 kN	
Ted	Torsione di calcolo [(+)]	0 kNm	
Fi1	1° diametro armatura tesa	24	
Fi2	2° diametro armatura tesa		
n1	N°. Barre 1° armatura tesa	10	
n2	N°. Barre 2° armatura tesa	0	
As'	Armatura superiore compressa	4524 mmq	
As	Armatura inferiore tesa	4524 mmq	
Fi Staffe	Diametro staffe	12 mm	
s. Staffe	Passo staffe	150 mm	
bracci	Numero Bracci staffe	2	
ootθ	(proiez.orizz.)/(proiez.vert.) puntone cls	2,5 [range: 1,0-2,5]	
alpha	angolo staffe/piegati rispetto all'orizzontale	90,0°	
Asw	Area a taglio per unità di lunghezza	1508 mmq/m	15,08 cmq/m
<R-F-P>	Combinaz. SLE (rara,frequente,qperm)	R	
Msle	Momento di esercizio [(+)]	162,1 kNm	
Nsle	Sforzo normale di esercizio [(+)Trazione]	0,0 kN	
wk-lim	Stato limite apertura fessure (Freq.Perm)	0,20 mm	
sigR-lim	Tensione limite cls comb. Rara	0,60 fck	
sigP-lim	Tensione limite cls comb. Quasi Perm	0,45 fck	
sigS-R-lim	Tensione limite acc. Comb. Rara	0,80 fyk	

**Geometria della Sezione:**



**Dati di Output:**

**SLU - Momento e Taglio resistenti**

<S-N>	Momento Ultimo resistente dissipativo <S/N>	S	
Mrd	Momento ultimo resistente	678 kNm	Coeff.Sfrutt. 43%
Vrd	Taglio ultimo resistente	571 kN	Coeff.Sfrutt. 0%
Trd	Momento torcente ultimo resistente	6 kNm	Coeff.Sfrutt.

**SLE - Tensioni e ampiezza fessure**

Sigs-sup	Tensione barre superiori [(-)Compresso]	-31 Mpa	Coeff.Sfrutt. 9%
Sigs-inf	Tensione barre inferiori [(+)Teso]	96 Mpa	Coeff.Sfrutt. 27%
Sigo-sup	Tensione cls superiore [(-)Compresso]	-4 Mpa	Coeff.Sfrutt. 21%
Sigo-inf	Tensione cls inferiore [non reag.Trazione]	0 Mpa	
Mcr	Momento di prima fessurazione	151 kNm	
wk	Ampiezza di fessura	0,10 mm	Coeff.Sfrutt. 48%
			Coeff.Sfrutt.Max 48%

**Oggetto:**

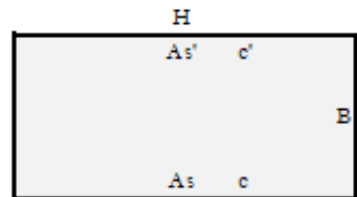
TOMBINO NI07\_2+564,00 - Nuovo NTC18

Sezione n°. 03

**Dati di Input:**

B	Base sezione rettangolare	1000 mm
H	Altezza sezione rettangolare	400 mm
c'	Copriferro armatura sup. compressa	70 mm
c	Copriferro armatura inf. Tesa	70 mm
d	Altezza utile = H-c	330 mm
fck	Resistenza caratt. Cilindrica calcestruzzo	30 MPa
fyk	Resistenza caratt. Snervamento acciaio	450 MPa
Ned	Sforzo normale di calcolo [(+)Trazione]	-43,2 kN
Med	Momento flettente di calcolo [(+)]	339,2 kNm
Ved	Taglio di calcolo [(+)]	298,0 kN
Ted	Torsione di calcolo [(+)]	0 kNm
Fi1	1° diametro armatura tesa	26
Fi2	2° diametro armatura tesa	
n1	N°. Barre 1° armatura tesa	10
n2	N°. Barre 2° armatura tesa	0
As'	Armatura superiore compressa	5309 mmq
As	Armatura inferiore tesa	5309 mmq
Fi Staffe	Diametro staffe	12 mm
s. Staffe	Passo staffe	150 mm
bracci	Numero Bracci staffe	2
cotθ	(proiez.orizz.)/(proiez.vert.) puntone di	2,5 [range 1,0-2,5]
alpha	angolo staffe/piegati rispetto all'orizzontale	90,0°
Asw	Area a taglio per unità di lunghezza	1508 mmq/m 15,08 cmq/m
<R-F-P>	Combinaz. SLE (rara,frequente,qperm)	R
Msle	Momento di esercizio [(+)]	202,3 kNm
Nsle	Sforzo normale di esercizio [(+)Trazione]	-90,5 kN
wk-lim	Stato limite apertura fessure (Freq,Perm)	0,20 mm
sigR-lim	Tensione limite cls comb. Rara	0,60 fck
sigP-lim	Tensione limite cls comb. Quasi Perm	0,45 fck
sigR-lim	Tensione limite acc. Comb. Rara	0,80 fyk

**Geometria della Sezione:**



**Dati di Output:**

**SLU - Momento e Taglio resistenti**

<S-N>	Momento Ultimo resistente dissipativo <S/N>	S		
Mrd	Momento ultimo resistente	586 kNm	Coeff.Sfrutt.	58%
Vrd	Taglio ultimo resistente	438 kN	Coeff.Sfrutt.	68%
Trd	Momento torcente ultimo resistente	4 kNm	Coeff.Sfrutt.	
<b>SLE - Tensioni e ampiezza fessure</b>				
Sigs-sup	Tensione barre superiori [(-)Compresso]	-53 Mpa	Coeff.Sfrutt.	15%
Sigs-inf	Tensione barre inferiori [(+)Teso]	130 Mpa	Coeff.Sfrutt.	36%
Sigσ-sup	Tensione cls superiore [(-)Compresso]	-7 Mpa	Coeff.Sfrutt.	38%
Sigσ-inf	Tensione cls inferiore [non reag.Trazione]	0 Mpa		
Mcr	Momento di prima fessurazione	111 kNm		
wk	Ampiezza di fessura	0,15 mm	Coeff.Sfrutt.	75%
			Coeff.Sfrutt.Max	75%

**Oggetto:**

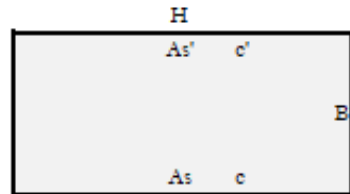
TOMBINO NI07\_3+564,00 - Nuovo NTC18

Sezione n°. 04

**Dati di Input:**

B	Base sezione rettangolare	1000 mm
H	Altezza sezione rettangolare	400 mm
c'	Copriferro armatura sup. compressa	70 mm
c	Copriferro armatura inf. Tesa	70 mm
d	Altezza utile = H-c	330 mm
fck	Resistenza caratt. Cilindrica calcestruzzo	30 MPa
fyk	Resistenza caratt. Snervamento acciaio	450 MPa
Ned	Sforzo normale di calcolo [(+)Trazione]	0,0 kN
Med	Momento flettente di calcolo [(+)]	315,4 kNm
Ved	Taglio di calcolo [(+)]	341,0 kN
Ted	Torsione di calcolo [(+)]	0 kNm
Fi1	1° diametro armatura tesa	24
Fi2	2° diametro armatura tesa	
n1	N°. Barre 1° armatura tesa	10
n2	N°. Barre 2° armatura tesa	0
As'	Armatura superiore compressa	4524 mmq
As	Armatura inferiore tesa	4524 mmq
Fi Staffe	Diametro staffe	12 mm
s. Staffe	Passo staffe	150 mm
bracci	Numero Bracci staffe	2
cotθ	(proiez.orizz.)/(proiez.vert.) puntone ds	2,5 [range: 1,0-2,5]
alpha	angolo staffe/piegati rispetto all'orizzontale	90,0°
Asw	Area a taglio per unità di lunghezza	1508 mmq/m
<R-F-P>	Combinaz. SLE (rara,frequente,qperm)	R
Msle	Momento di esercizio [(+)]	187,7 kNm
Nsle	Sforzo normale di esercizio [(+)Trazione]	0,0 kN
wk-lim	Stato limite apertura fessure (Freq.Perm)	0,20 mm
sigR-lim	Tensione limite cls comb. Rara	0,60 fck
sigP-lim	Tensione limite cls comb. Quasi Perm	0,45 fck
sigS-R-lim	Tensione limite acc. Comb. Rara	0,80 fyk

**Geometria della Sezione:**



**Dati di Output:**

**SLU - Momento e Taglio resistenti**

<S-N>	Momento Ultimo resistente dissipativo <S/N>	S		
Mrd	Momento ultimo resistente	501 kNm	Coeff.S frutt.	63%
Vrd	Taglio ultimo resistente	438 kN	Coeff.S frutt.	78%
Trd	Momento torcente ultimo resistente	4 kNm	Coeff.S frutt.	
<b>SLE - Tensioni e ampiezza fessure</b>				
Sigs-sup	Tensione barre superiori [(-)Compresso]	-49 Mpa	Coeff.S frutt.	14%
Sigs-inf	Tensione barre inferiori [(+)Teso]	150 Mpa	Coeff.S frutt.	42%
Sigσ-sup	Tensione ds superiore [(-)Compresso]	-7 Mpa	Coeff.S frutt.	38%
Sigσ-inf	Tensione ds inferiore [non reag.Trazione]	0 Mpa		
Mcr	Momento di prima fessurazione	100 kNm		
wk	Ampiezza di fessura	0,18 mm	Coeff.S frutt.	89%
			Coeff.S frutt.Max	89%

**Oggetto:**

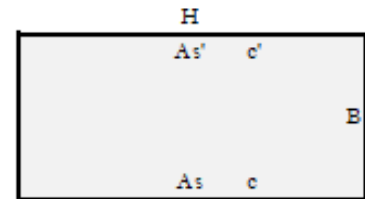
TOMBINO NI07\_2+564,00 - Nuovo NTC18

Sezione n°. 05

**Dati di Input:**

B	Base sezione rettangolare	1000 mm
H	Altezza sezione rettangolare	400 mm
c'	Copriferro armatura sup. compressa	70 mm
c	Copriferro armatura inf. Tesa	70 mm
d	Altezza utile = H-c	330 mm
fck	Resistenza caratt. Cilindrica calcestruzzo	30 MPa
fyk	Resistenza caratt. Snervamento acciaio	450 MPa
Ned	Sforzo normale di calcolo [(+)Trazione]	0,0 kN
Med	Momento flettente di calcolo [(+)]	152,9 kNm
Ved	Taglio di calcolo [(+)]	0,0 kN
Ted	Torsione di calcolo [(+)]	0 kNm
Fi1	1° diametro armatura tesa	24
Fi2	2° diametro armatura tesa	
n1	N°. Barre 1° armatura tesa	10
n2	N°. Barre 2° armatura tesa	0
As'	Armatura superiore compressa	4524 mmq
As	Armatura inferiore tesa	4524 mmq
Fi Staffe	Diametro staffe	12 mm
s. Staffe	Passo staffe	150 mm
bracci	Numero Bracci staffe	2
cotθ	(proiez.orizz.)/(proiez.vert.) puntone cls	2,5 [range: 1,0-2,5]
alpha	angolo staffe/piegati rispetto all'orizzontale	90,0°
Asw	Area a taglio per unità di lunghezza	1508 mmq/m
<R-F-P>	Combinaz. SLE (rara,frequente,perm)	R
Msle	Momento di esercizio [(+)]	95,0 kNm
Nsle	Sforzo normale di esercizio [(+)Trazione]	0,0 kN
wk-lim	Stato limite apertura fessure (Freq.Perm)	0,20 mm
sigR-lim	Tensione limite cls comb. Rara	0,60 fck
sigP-lim	Tensione limite cls comb. Quasi Perm	0,45 fck
sigS-lim	Tensione limite acc. Comb. Rara	0,80 fyk

**Geometria della Sezione:**



**Dati di Output:**

**SLU - Momento e Taglio resistenti**

<S-N>	Momento Ultimo resistente dissipativo <S/N>	S		
Mrd	Momento ultimo resistente	501 kNm	Coeff.Sfrutt.	31%
Vrd	Taglio ultimo resistente	438 kN	Coeff.Sfrutt.	0%
Trd	Momento torcente ultimo resistente	4 kNm	Coeff.Sfrutt.	
<b>SLE - Tensioni e ampiezza fessure</b>				
Sigs-sup	Tensione barre superiori [(-)Compresso]	-25 Mpa	Coeff.Sfrutt.	7%
Sigs-inf	Tensione barre inferiori [(+)Teso]	76 Mpa	Coeff.Sfrutt.	21%
Sigo-sup	Tensione cls superiore [(-)Compresso]	-3 Mpa	Coeff.Sfrutt.	19%
Sigo-inf	Tensione cls inferiore [non reag.Trazione]	0 Mpa		
Mcr	Momento di prima fessurazione	100 kNm		
wk	Ampiezza di fessura	0,07 mm	Coeff.Sfrutt.	34%
			Coeff.Sfrutt.Max	34%

**Oggetto:**

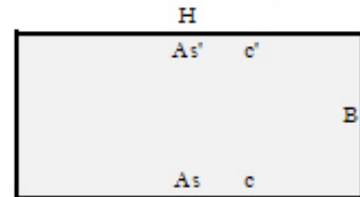
TOMBINO NI07\_2+564,00 - Nuovo NTC18

Sezione n°. 06

**Dati di Input:**

B	Base sezione rettangolare	1000 mm
H	Altezza sezione rettangolare	400 mm
c'	Coprifermo armatura sup. compressa	70 mm
c	Coprifermo armatura inf. Tesa	70 mm
d	Altezza utile = H-c	330 mm
fck	Resistenza caratt. Cilindrica calcestruzzo	30 MPa
fyk	Resistenza caratt. Snervamento acciaio	450 MPa
Ned	Sforzo normale di calcolo [(+)/Trazione]	-68,2 kN
Med	Momento flettente di calcolo [(+)]	405,6 kNm
Ved	Taglio di calcolo [(+)]	298,0 kN
Ted	Torsione di calcolo [(+)]	0 kNm
Fi1	1° diametro armatura tesa	26
Fi2	2° diametro armatura tesa	0
n1	N°. Barre 1° armatura tesa	10
n2	N°. Barre 2° armatura tesa	0
As'	Armatura superiore compressa	5309 mmq
As	Armatura inferiore tesa	5309 mmq
Fi Staffe	Diametro staffe	12 mm
s. Staffe	Passo staffe	150 mm
bracci	Numero Bracci staffe	2
cotθ	(proiez.orizz.)/(proiez.vert.) puntone ds	2,5 [range: 1,0-2,5]
alpha	angolo staffe/piegati rispetto all'orizzontale	90,0°
Asw	Area a taglio per unità di lunghezza	1508 mmq/m
<R-F-P>	Combinaz. SLE (rara,frequente,qperm)	R
Msle	Momento di esercizio [(+)]	240,9 kNm
Nsle	Sforzo normale di esercizio [(+)/Trazione]	-115,5 kN
wk-lim	Stato limite a apertura fessure (Freq.Perm)	0,20 mm
sigcR-lim	Tensione limite cls comb. Rara	0,60 fck
sigcP-lim	Tensione limite cls comb. Quasi Perm	0,45 fck
sigcR-lim	Tensione limite acc. Comb. Rara	0,80 fyk

**Geometria della Sezione:**



**Dati di Output:**

**SLU - Momento e Taglio resistenti**

<S-N>	Momento Ultimo resistente dissipativo <S/N>	S
Mrd	Momento ultimo resistente	589 kNm
Vrd	Taglio ultimo resistente	438 kN
Trd	Momento torcente ultimo resistente	4 kNm
<b>SLE - Tensioni e ampiezza fessure</b>		
Sigs-sup	Tensione barre superiori [(-)Compresso]	-64 Mpa
Sigs-inf	Tensione barre inferiori [(+)Teso]	154 Mpa
Sigc-sup	Tensione ds superiore [(-)Compresso]	-8 Mpa
Sigc-inf	Tensione ds inferiore [non reag.Trazione]	0 Mpa
Mcr	Momento di prima fessurazione	113 kNm
wk	Ampiezza di fessura	0,19 mm

Coeff.Sfrutt.	69%
Coeff.Sfrutt.	68%
Coeff.Sfrutt.	18%
Coeff.Sfrutt.	43%
Coeff.Sfrutt.	45%
Coeff.Sfrutt.	93%
Coeff.Sfrutt.Max	93%

Si riportano i coefficienti di sfruttamento nelle sezioni notevoli per le verifiche SLU/SLE:

<b>SINTESI VERIFICHE SEZIONI NOTEVOLI:</b>							
<b>SL</b>	<b>VERIF</b>	<b>SEZ01</b>	<b>SEZ02</b>	<b>SEZ03</b>	<b>SEZ04</b>	<b>SEZ05</b>	<b>SEZ06</b>
SLU	Med/Mrd	<b>54%</b>	<b>43%</b>	<b>58%</b>	<b>63%</b>	<b>31%</b>	<b>69%</b>
SLU	Ved/Vrd	<b>83%</b>	<b>0%</b>	<b>68%</b>	<b>78%</b>	<b>0%</b>	<b>68%</b>
SLE	(sigse/sigsr)s	<b>12%</b>	<b>9%</b>	<b>15%</b>	<b>14%</b>	<b>7%</b>	<b>18%</b>
SLE	(sigse/sigsr)i	<b>37%</b>	<b>27%</b>	<b>36%</b>	<b>42%</b>	<b>21%</b>	<b>43%</b>
SLE	(sigce/sigr)s	<b>28%</b>	<b>21%</b>	<b>38%</b>	<b>38%</b>	<b>19%</b>	<b>45%</b>
SLE	wk/wklim	<b>77%</b>	<b>48%</b>	<b>75%</b>	<b>89%</b>	<b>34%</b>	<b>93%</b>
	MAX	<b>83%</b>	<b>48%</b>	<b>75%</b>	<b>89%</b>	<b>34%</b>	<b>93%</b>
	MAX	<b>93%</b>					

I coefficienti di sfruttamento sono tutti inferiori all'unità e pertanto le verifiche risultano soddisfatte.

### 3.11. ARMATURE DI RIPARTIZIONE

Le armature di ripartizione delle pareti e della soletta vengono dimensionate per sostenere gli effetti del ritiro igrometrico i quali generano una trazione pura per deformazioni impedita a causa della soletta inferiore gettata precedentemente e che può aver dissipato tali effetti.

La  $\epsilon$  ritiro induce nel calcestruzzo una tensione di trazione superiore alla sua resistenza a trazione, ne deriva la fessurazione e il trasferimento di tutta la trazione sull'acciaio teso. Per ottenere delle fessure uniformemente distribuite e non concentrate in alcuni punti con ampiezze macroscopiche, si applica un principio di non plasticizzazione delle armature. Per limitare l'ampiezza delle fessure, pur distribuite, che si ottengono applicando tale principio, si applica quanto previsto al § 7.3.2 dell'Eurocodice 2 - UNI EN 1992 1-1: "Aree minime di armatura", in particolare la formula (7.1):

$$A_{s,min} \cdot \sigma_s = k_c \cdot k \cdot f_{ct,eff} \cdot A_{ct}$$

dove:

$A_{s,min}$  è l'area minima di armatura nella zona tesa;

$A_{ct}$  è l'area di calcestruzzo nella zona tesa. La zona tesa è quella parte della sezione che risulta in trazione subito dopo la formazione della prima fessura; è pari a tutta l'area della sezione per trazione pura, alla metà per flessione;

$\sigma_s$  è la massima tensione ammessa nell'armatura subito dopo la formazione della fessura. Tale tensione può essere assunta pari alla tensione di snervamento  $f_{yk}$  dell'armatura. Può essere però necessario fissare un valore minore per soddisfare i limiti di apertura delle fessure secondo il massimo diametro o la massima spaziatura tra le barre (vedere punto 7.3.3).

$f_{ct,eff}$  è il valore medio della resistenza a trazione efficace del calcestruzzo al momento in cui si suppone insorgano le prime fessure;

$f_{ct,eff} = f_{ctm}$  se la formazione delle fessure è prevista prima di 28d;

$k$  è il coefficiente che tiene conto degli effetti di tensioni auto-equilibrate non uniformi,  $k=1$

$k_c$  è il coefficiente che tiene conto del tipo di distribuzione delle tensioni all'interno della sezione subito prima della fessurazione e della variazione del braccio di leva;  $k_c=1$  per trazione,  $k_c=0,4$  per flessione,  $k_c = 0,4 \cdot (1 - \text{funz}(\sigma_c))$  nel caso flessione combinata con sforzo normale.

base della sezione		1000 mm
altezza della sezione		400 mm
area sezione calcestruzzo	$A_{ct}$	400000 mm <sup>2</sup>
tensione di snervamento acciaio	$f_{yk}$	450 Mpa
resist. Caratt. Cilindrica cls a compressione	$f_{ck}$	30 Mpa
tensione resistente cls a trazione	$f_{ct,eff}=0,3(f_{ck})^{2/3}$	2,90 Mpa
coefficiente $k_c$	$k_c$	1,00
coefficiente $k$	$k$	1,00
area minima acciaio teso nella sezione	$A_{s,min}$	2575 mm <sup>2</sup>

P.to 7.3.3 EC2 1992:1-1): Dove è disposta l'armatura minima indicata al punto 7.3.2, le ampiezze delle fessure non dovrebbero essere eccessive se: per fessurazione causata principalmente da deformazioni impedito, il diametro delle barre non eccede quello dato nel prospetto 7.2N, dove la tensione nell'acciaio è quella che si ha subito dopo la fessurazione [cioè il termine  $\sigma_s$  nell'espressione (7.1)];

prospetto 7.2N **Diametri massimi delle barre  $\phi^*$  per il controllo della fessurazione<sup>1)</sup>**

Tensione nell'acciaio <sup>2)</sup> [MPa]	Diametro massimo delle barre [mm]		
	$w_k = 0,4$ mm	$w_k = 0,3$ mm	$w_k = 0,2$ mm
160	40	32	25
200	32	25	16
240	20	16	12
280	16	12	8
320	12	10	6
360	10	8	5
400	8	6	4
450	6	5	-

1) I valori nel prospetto sono basati sulle seguenti assunzioni:  
 $c = 25$  mm;  $f_{ct,eff} = 2,9$  MPa;  $h_{cr} = 0,5$ ;  $(h - d) = 0,1 h$ ;  $k_1 = 0,8$ ;  $k_2 = 0,5$ ;  $k_c = 0,4$ ;  $k = 1,0$ ;  $k_1 = 0,4$  e  $k' = 1,0$ .  
 2) Sotto la combinazione di carico pertinente.

Il diametro massimo delle barre si raccomanda sia modificato come segue:

Trazione (la sezione è tutta tesa):

$$\phi_s = \phi_s^* (f_{ct,eff} / 2,9) h_{cr} / (8(h-d)) \quad (7.7N)$$

dove:

$\phi_s$  è il diametro massimo "modificato" delle barre;

$\phi_s^*$  è il diametro massimo dato nel prospetto 7.2N;

$h$  è l'altezza totale della sezione;

$h_{cr}$  è l'altezza della zona tesa subito prima della fessurazione, considerando i valori caratteristici della forza di precompressione e delle forze assiali sotto la combinazione di azioni quasi-permanente;

$d$  è l'altezza utile valutata rispetto al baricentro dello strato più esterno di armatura ordinaria.

Se tutta la sezione è tesa  $h-d$  è la minima distanza tra il baricentro dello strato di armatura e il lembo esterno della sezione (considerare ciascun lembo se la barra non è disposta simmetricamente).

Verifica armatura trasversale:

diametro barre trasversali	$\Phi_{trav}$	16 mm	< $F_s$	Verifica soddisfatta
passo barre trasversali	passo	100 mm		
N.strati barre trasvers. (sup.+inf.+intermedi)	n.strati	2		
Area barre trasversali	$A_s$	4021 mm <sup>2</sup>		
stato tensionale barre dopo fessurazione	$\sigma_s$	288 mm <sup>2</sup>	< $f_{yk}$	Verifica soddisfatta
$\phi$ barre da tabella 7.2N x $\sigma_s$ e $w_k=0,2$ mm	$\phi^*s$	6 mm		
altezza zona tesa prima della fessurazione	$h_{cr}$	400 mm		
altezza totale sezione	$h$	400 mm		
copriferro (asse barre)	$c$	60 mm		
altezza utile sezione	$d$	340 mm		
diametro massimo modificato utilizzabile	$\phi_s$	20 mm	(= $F_s$ )	

### 3.12. VERIFICHE SLV AL LIMITE ELASTICO

Le verifiche SLV sono state effettuate allo stato limite elastico:

**Oggetto:**

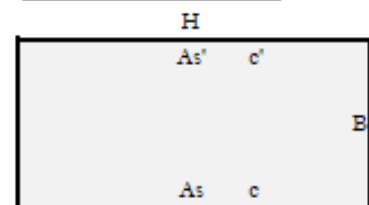
TOMBINO IN07\_2+564,00 - Nuovo NTC18

Sezione n° 01

**Dati di Input:**

B	Base sezione rettangolare	1000 mm
H	Altezza sezione rettangolare	500 mm
c'	Copriferro armatura sup. compressa	70 mm
c	Copriferro armatura inf. Tesa	70 mm
d	Altezza utile = H-c	430 mm
fck	Resistenza caratt. Cilindrica calcestruzzo	30 MPa
fyk	Resistenza caratt. Snervamento acciaio	450 MPa
Ned	Sforzo normale di calcolo [(+)Trazione]	0,0 kN
Med	Momento flettente di calcolo [(+)]	61,4 kNm
Ved	Taglio di calcolo [(+)]	0,0 kN
Ted	Torsione di calcolo [(+)]	0 kNm
Fi1	1° diametro armatura tesa	24
Fi2	2° diametro armatura tesa	
n1	N°. Barre 1° armatura tesa	10
n2	N°. Barre 2° armatura tesa	
As'	Armatura superiore compressa	4524 mmq
As	Armatura inferiore tesa	4524 mmq
Fi Staffe	Diametro staffe	12 mm
s. Staffe	Passo staffe	150 mm
bracci	Numero Bracci staffe	2
cotθ	(proiez.orizz.)/(proiez.vert.) puntone ds	2,5 [range: 1,0-2,5]
alpha	angolo staffe/piegati rispetto all'orizzontale	90,0°
Asw	Area a taglio per unità di lunghezza	1508 mmq/m

**Geometria della Sezione:**



**Dati di Output:**

**SLV - Momento al limite elastico**

<S-N>	Momento Ultimo resistente dissipativo <S/N>	N
Mrd	Momento ultimo resistente	655 kNm
	Coeff.S frutt.	9%

**Oggetto:**

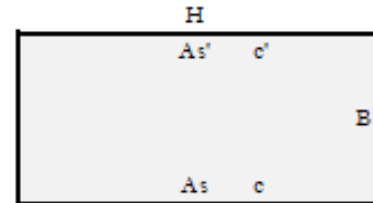
TOMBINO IN07\_2+564,00 - Nuovo NTC18

Sezione n°. 02

**Dati di Input:**

B	Base sezione rettangolare	1000 mm
H	Altezza sezione rettangolare	500 mm
c'	Copriferro armatura sup. compressa	70 mm
c	Copriferro armatura inf. Tesa	70 mm
d	Altezza utile = H-c	430 mm
fck	Resistenza caratt. Cilindrica calcestruzzo	30 MPa
fyk	Resistenza caratt. Snervamento acciaio	450 MPa
Ned	Sforzo normale di calcolo [(+)Trazione]	0,0 kN
Med	Momento flettente di calcolo [(+)]	50,7 kNm
Ved	Taglio di calcolo [(+)]	0,0 kN
Ted	Torsione di calcolo [(+)]	0 kNm
Fi1	1° diametro armatura tesa	24
Fi2	2° diametro armatura tesa	
n1	N°. Barre 1° armatura tesa	10
n2	N°. Barre 2° armatura tesa	0
As'	Armatura superiore compressa	4524 mmq
As	Armatura inferiore tesa	4524 mmq
Fi Staffe	Diametro staffe	12 mm
s. Staffe	Passo staffe	150 mm
bracci	Numero Bracci staffe	2
cotθ	(proiez.orizz.)/(proiez.vert.) puntone ds	2,5 [range: 1,0-2,5]
alpha	angolo staffe/piegati rispetto all'orizzontale	90,0°
Asw	Area a taglio per unità di lunghezza	1508 mmq/m

**Geometria della Sezione:**



**Dati di Output:**

**SLV - Momento al limite elastico**

<S-N>	Momento Ultimo resistente dissipativo <S/N>	N
Mrd	Momento ultimo resistente	655 kNm
	Coeff.Sfrutt.	8%

**Oggetto:**

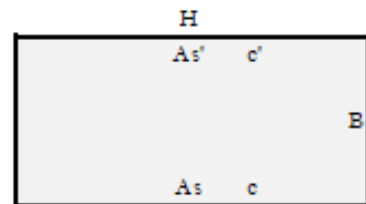
TOMBINO IN07\_3+564,00 - Nuovo NTC18

Sezione n°. 03

**Dati di Input:**

B	Base sezione rettangolare	1000 mm
H	Altezza sezione rettangolare	400 mm
c'	Copriferro armatura sup. compressa	70 mm
c	Copriferro armatura inf. Tesa	70 mm
d	Altezza utile = H-c	330 mm
fck	Resistenza caratt. Cilindrica calcestruzzo	30 MPa
fyk	Resistenza caratt. Snervamento acciaio	450 MPa
Ned	Sforzo normale di calcolo [(+)Trazione]	0,0 kN
Med	Momento flettente di calcolo [(+)]	53,9 kNm
Ved	Taglio di calcolo [(+)]	0,0 kN
Ted	Torsione di calcolo [(+)]	0 kNm
Fil	1° diametro armatura tesa	26
Fi2	2° diametro armatura tesa	
n1	N°. Barre 1° armatura tesa	10
n2	N°. Barre 2° armatura tesa	0
As'	Armatura superiore compressa	5309 mmq
As	Armatura inferiore tesa	5309 mmq
Fi Staffe	Diametro staffe	12 mm
s. Staffe	Passo staffe	150 mm
bracci	Numero Bracci staffe	2
cotθ	(proiez.orizz.)/(proiez.vert.) puntone ds	2,5 [range 1,0-2,5]
alpha	angolo staffe/piegati rispetto all'orizzontale	90,0°
Asw	Area a taglio per unità di lunghezza	1508 mmq/m

**Geometria della Sezione:**



**Dati di Output:**

<b>SLV - Momento al limite elastico</b>			
<S-N>	Momento Ultimo resistente dissipativo <S/N>	N	
Mrd	Momento ultimo resistente	565 kNm	Coeff.S frutt. 10%

**Oggetto:**

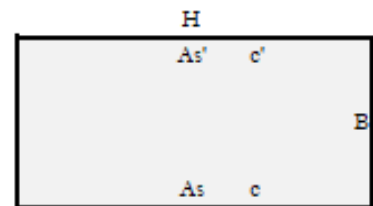
TOMBINO IN07\_2+564,00 - Nuovo NTC18

Sezione n° 04

**Dati di Input:**

B	Base sezione rettangolare	1000 mm
H	Altezza sezione rettangolare	400 mm
c'	Copriferro armatura sup. compressa	70 mm
c	Copriferro armatura inf. Tesa	70 mm
d	Altezza utile = H-c	330 mm
fck	Resistenza caratt. Cilindrica calcestruzzo	30 MPa
fyk	Resistenza caratt. Snervamento acciaio	450 MPa
Ned	Sforzo normale di calcolo [(+)Trazione]	0,0 kN
Med	Momento flettente di calcolo [(+)]	56,8 kNm
Ved	Taglio di calcolo [(+)]	0,0 kN
Ted	Torsione di calcolo [(+)]	0 kNm
Fil	1° diametro armatura tesa	24
Fi2	2° diametro armatura tesa	
n1	N°. Barre 1° armatura tesa	10
n2	N°. Barre 2° armatura tesa	0
As'	Armatura superiore compressa	4524 mmq
As	Armatura inferiore tesa	4524 mmq
Fi Staffe	Diametro staffe	12 mm
s. Staffe	Passo staffe	150 mm
bracci	Numero Bracci staffe	2
cotθ	(proiez.orizz.)/(proiez.vert.) puntone ds	2,5 [range: 1,0-2,5]
alpha	angolo staffe/piegati rispetto all'orizzontale	90,0°
Asw	Area a taglio per unità di lunghezza	1508 mmq/m

**Geometria della Sezione:**



**Dati di Output:**

**SLV - Momento al limite elastico**

<S-N>	Momento Ultimo resistente dissipativo <S/N>	N
Mrd	Momento ultimo resistente	486 kNm

Coeff.S frutt. 12%

**Oggetto:**

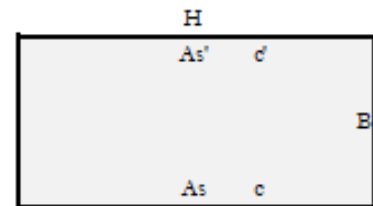
TOMBINO IN07\_3+564,00 - Nuovo NTC18

Sezione n°. 05

**Dati di Input:**

B	Base sezione rettangolare	1000 mm	
H	Altezza sezione rettangolare	400 mm	
c'	Coprifermo armatura sup. compressa	70 mm	
c	Coprifermo armatura inf. Tesa	70 mm	
d	Altezza utile = H-c	330 mm	
fck	Resistenza caratt. Cilindrica calcestruzzo	30 MPa	
fyk	Resistenza caratt. Snervamento acciaio	450 MPa	
Ned	Sforzo normale di calcolo [(+)Trazione]	0,0 kN	
Med	Momento flettente di calcolo [(+)]	30,8 kNm	
Ved	Taglio di calcolo [(+)]	0,0 kN	
Ted	Torsione di calcolo [(+)]	0 kNm	
Fi1	1° diametro armatura tesa	24	
Fi2	2° diametro armatura tesa	0	
n1	N°. Barre 1° armatura tesa	10	
n2	N°. Barre 2° armatura tesa	0	
As'	Armatura superiore compressa	4524 mmq	
As	Armatura inferiore tesa	4524 mmq	
Fi Staffe	Diametro staffe	12 mm	
s. Staffe	Passo staffe	150 mm	
bracci	Numero Bracci staffe	2	
cotθ	(proiez.orizz.)/(proiez.vert.) puntone ds	2,5 [range: 1,0-2,5]	
alpha	angolo staffe/piegati rispetto all'orizzontale	90,0°	
Asw	Area a taglio per unità di lunghezza	1508 mmq/m	15,08 cmq/m

**Geometria della Sezione:**



**Dati di Output:**

**SLV - Momento al limite elastico**

<S-N>	Momento Ultimo resistente dissipativo <S/N>	N	
Mrd	Momento ultimo resistente	486 kNm	Coeff.Sfnutt. 6%

**Oggetto:**

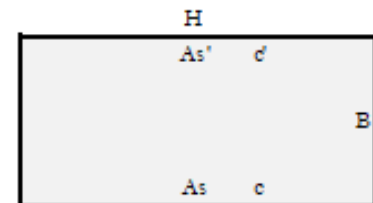
TOMBINO IN07\_2+564,00 - Nuovo NTC18

Sezione n°. 06

**Dati di Input:**

B	Base sezione rettangolare	1000 mm
H	Altezza sezione rettangolare	400 mm
c'	Copriferro armatura sup. compressa	70 mm
c	Copriferro armatura inf. Tesa	70 mm
d	Altezza utile = H-c	330 mm
fck	Resistenza caratt. Cilindrica calcestruzzo	30 MPa
fyk	Resistenza caratt. Snervamento acciaio	450 MPa
Ned	Sforzo normale di calcolo [(+)Trazione]	0,0 kN
Med	Momento flettente di calcolo [(+)]	67,8 kNm
Ved	Taglio di calcolo [(+)]	0,0 kN
Ted	Torsione di calcolo [(+)]	0 kNm
Fil	1° diametro armatura tesa	26
Fi2	2° diametro armatura tesa	0
n1	N°. Barre 1° armatura tesa	10
n2	N°. Barre 2° armatura tesa	0
As'	Armatura superiore compressa	5309 mmq
As	Armatura inferiore tesa	5309 mmq
Fi Staffe	Diametro staffe	12 mm
s. Staffe	Passo staffe	150 mm
bracci	Numero Bracci staffe	2
cotθ	(proiez.orizz.)/(proiez.vert.) puntone ds	2,5 [range: 1,0-2,5]
alpha	angolo staffe/piegati rispetto all'orizzontale	90,0°
Asw	Area a taglio per unità di lunghezza	1508 mmq/m

**Geometria della Sezione:**



**Dati di Output:**

**SLV - Momento al limite elastico**

<S-N>	Momento Ultimo resistente dissipativo <S/N>	N
Mrd	Momento ultimo resistente	565 kNm
	Coeff. Sfrutt.	12%



DIRETTRICE FERROVIARIA MESSINA – CATANIA – PALERMO NODO DI CATANIA

INTERRAMENTO LINEA PER IL PROLUNGAMENTO DELLA PISTA DELL' AEROPORTO DI FONTANAROSSA E PER LA MESSA A STI DEL TRATTO DI LINEA INTERESSATO.

MACROFASE FUNZIONALE 1

LOTTO 02

Relazione di calcolo tombino stradale NI07

COMMESSA  
RS3H

LOTTO  
0 2 D 78

CODIFICA  
CL

DOCUMENTO  
NI.07.0.0.001

REV.  
A

FOGLIO  
63 di 63

Si riportano i coefficienti di sfruttamento nelle sezioni notevoli per le verifiche SLV al limite elastico:

SINTESI VERIFICHE SEZIONI NOTEVOLI:							
SL	VERIF	SEZ01	SEZ02	SEZ03	SEZ04	SEZ05	SEZ06
SLV	Med/Mrd	9%	8%	10%	12%	6%	12%

I coefficienti di sfruttamento sono tutti inferiori all'unità e pertanto le verifiche risultano soddisfatte.